

13. Anhang

- **Profilдарstellungen und Isotopenwerte-Tabelle**
- **Tafeln**

Mikrofauna/-flora			
	Mikrobenkrusten		Oogonien
	Mikrobenklasten		Characeen
	<i>Cayeuxia</i>		Dasycladaceen (allg.)
	<i>Bacinnella irregularis</i>		<i>Acicularia/Cylindroporella/Heteroporella</i>
	Foraminiferen (indet.)		<i>Thaumatoporella parvovesiculifera</i>
	Lituolide/Loftusiide		<i>Marinella lugeoni</i>
	<i>Alveosepta</i>		Solenoporaceen
	Miliolide		Bryozoen (indet.)
	Rotalliide		<i>Hyporosopora/Berenicea</i>
	<i>Tubiphytes morronensis</i>		Ostrakoden
	<i>Lithocodium aggregatum</i>		Ostrakodenreste
	<i>Troglotella incrustans</i>		Skleren
	<i>Koskinobullina socialis</i>		Rhaxen
Makrofauna			
	Kalkschwämme (indet.)		Solitärkorallenreste
	<i>Barroisia/Thalamopora</i>		Süßwasserschnecken
	Demospongien (indet.)		Süßwasserschneckenreste
	<i>Neuropora</i>		Gastropoden (allg.)
	Stromatoporen		Gastropodenreste
	Stromatoporenreste		Naticaceen
	Chaetetiden		<i>Nerinea</i>
	Chaetetidenreste		Pelecypoden
	Korallen		Pelecypodenreste
	Korallenreste		dünnklappiger Muschelschill
	Solitärkorallen		lithophage Muscheln








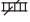



















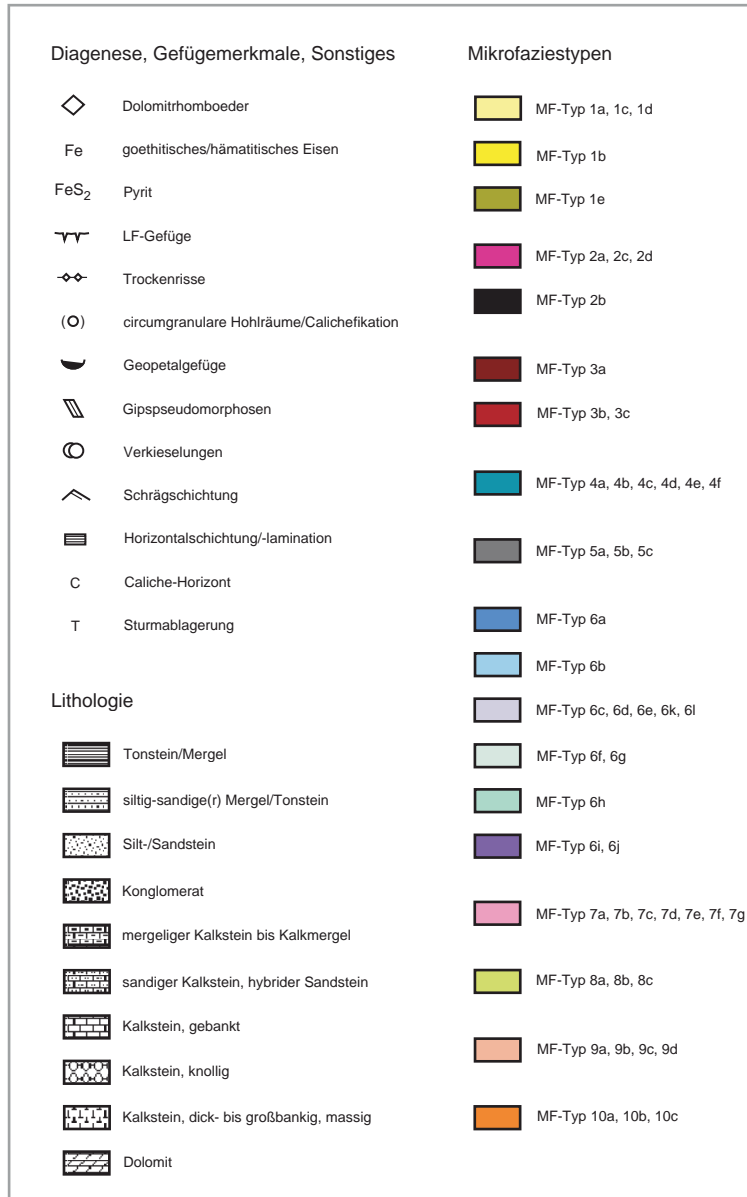
	Austern		<i>Modiolus</i>
	Austernreste		Ammonoideen
	Pectinide		Brachiopoden
	<i>Trichites</i>		Echinodermenreste
	<i>Trichitesreste</i>		Trochiten
	<i>Pholadomya/Ceratomya</i>		Seeigelstacheln
	<i>Arcomytilus</i>		Serpeln
	<i>Anisocardia</i>		<i>Terebella</i>
	<i>Nicaniella (Trautscholdia) supracorallina</i>		Wirbeltierreste
	<i>Isognomon</i>		Bioklasten (indet.)
biogene Strukturen			
	Bioturbation		Wurzelröhren
	<i>Rhizocorallium irregulare</i>		
Komponenten			
	Koprolithen		Onkoide
	Lithoklasten		Aggregatkörner
	Extraklasten		Cortoide
	Black Pebbles		Pisoide
	Peloide		Bohnerze
	Ooide		Toneisenkonkretionen
terrigenen Komponenten			
L	Lignit	FS	Feldspäte
q	Quarz (detritisch)	GI	Glimmerminerale

Abb. 25a: Legende für die Profildarstellungen dieser Arbeit



Komponentenhäufigkeit / -bedeutung

- häufig und/oder faziesdiagnostisch
- vorhanden
- selten und/oder nicht faziesdiagnostisch

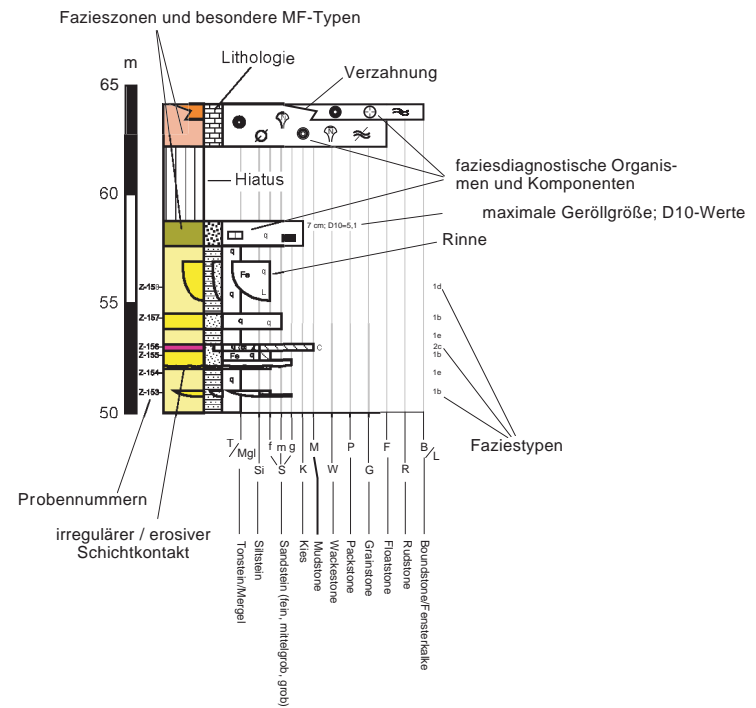


Abb. 25b: Legende (Fortsetzung)

Serra dos Candeeiros (Zentrum)

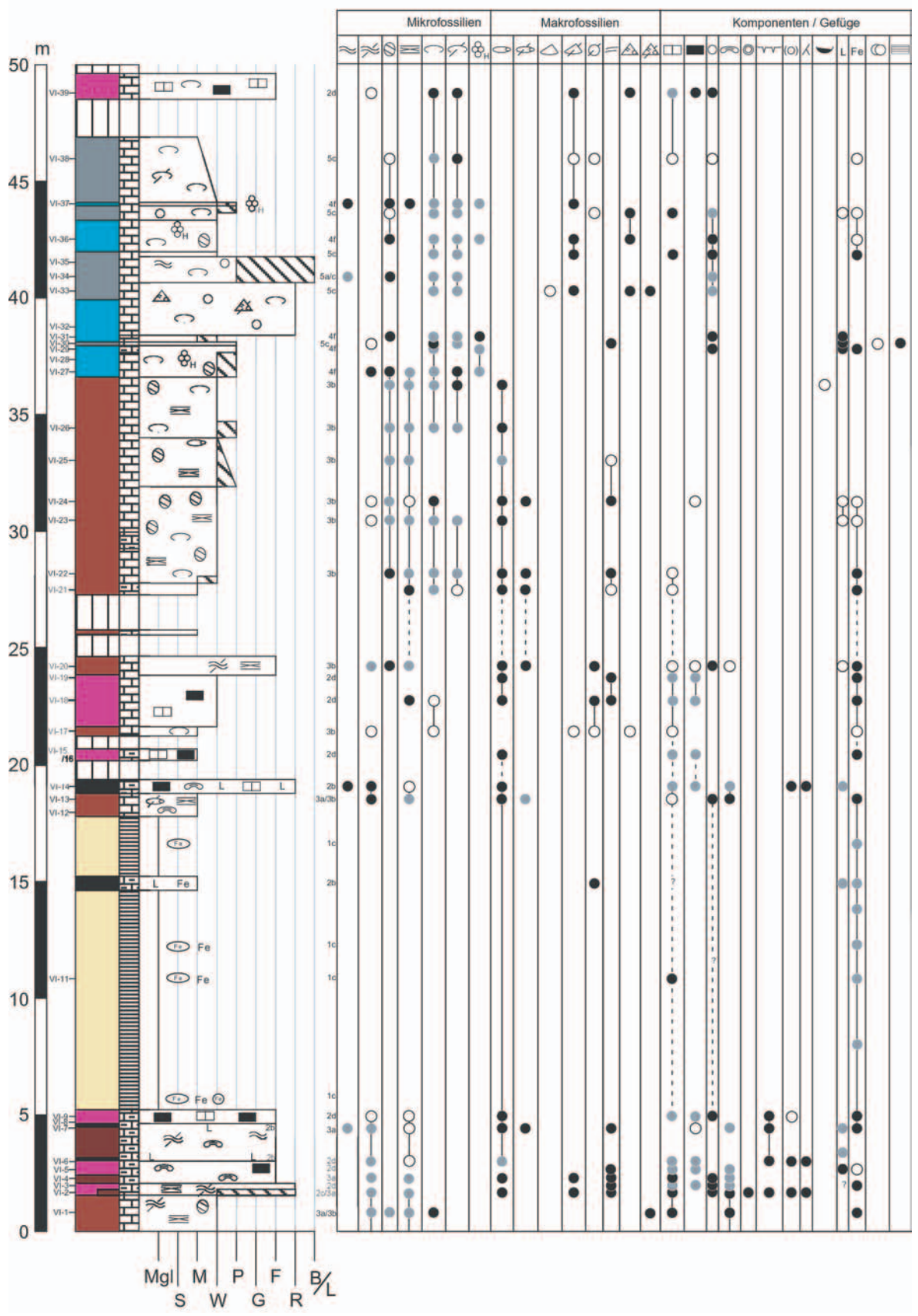


Abb. 26a: Profil Vale Verde I, Profilmeter 0 – 50; vgl. Kap. 3.2.1; zur Lage s. Abb. 5.

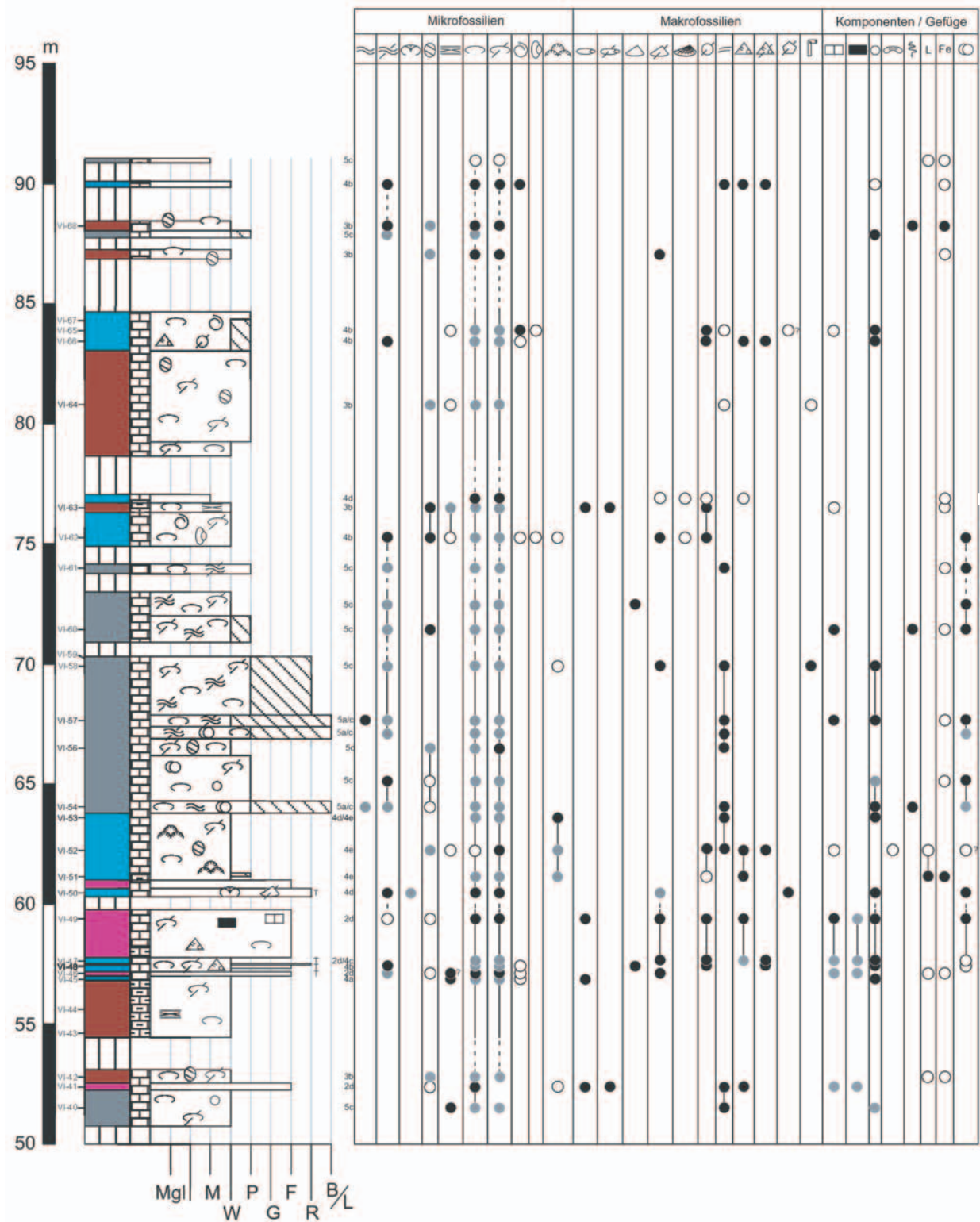


Abb. 26b: Profil Vale Verde I, Profilmeter 50 – 100; vgl. Kap. 3.2.1; zur Lage s. Abb. 5.

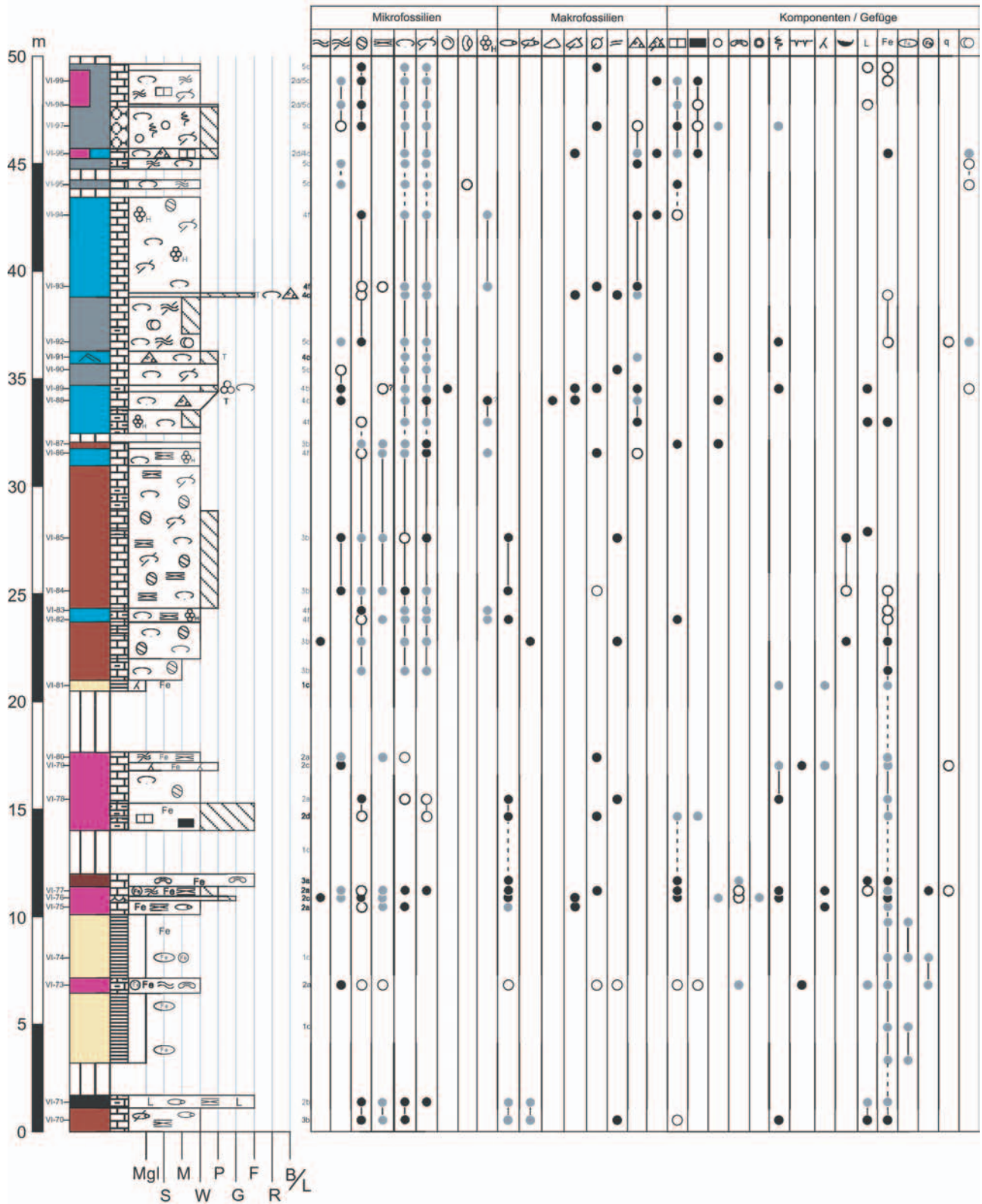


Abb. 27a: Profil Vale Verde II, Profilmeter 0 – 50; vgl. Kap. 3.2.1; zur Lage s. Abb. 5.

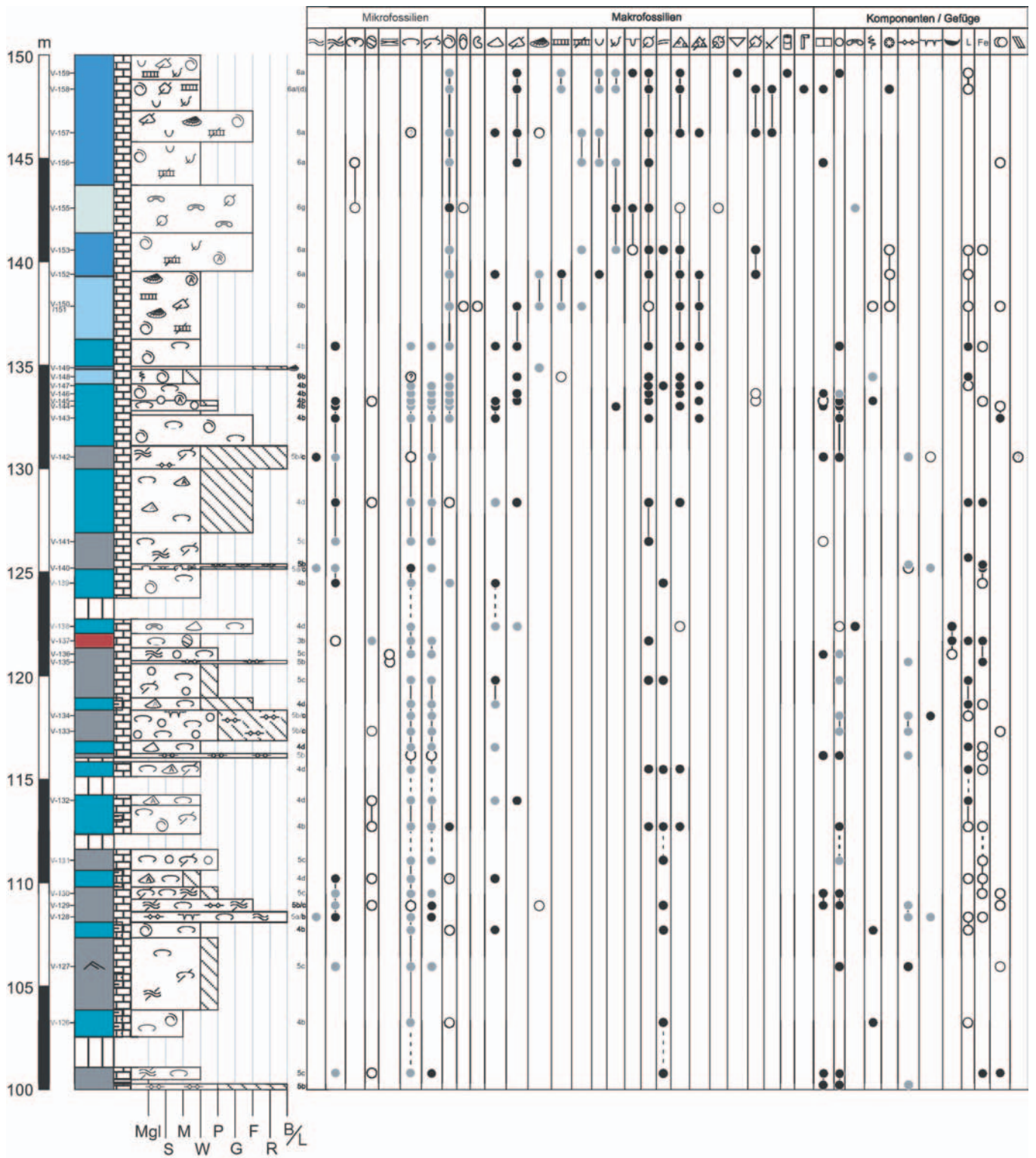


Abb. 27c: Profil Vale Verde II, Profilmeter 100 – 150; vgl. Kap. 3.2.1; zur Lage s. Abb. 5.

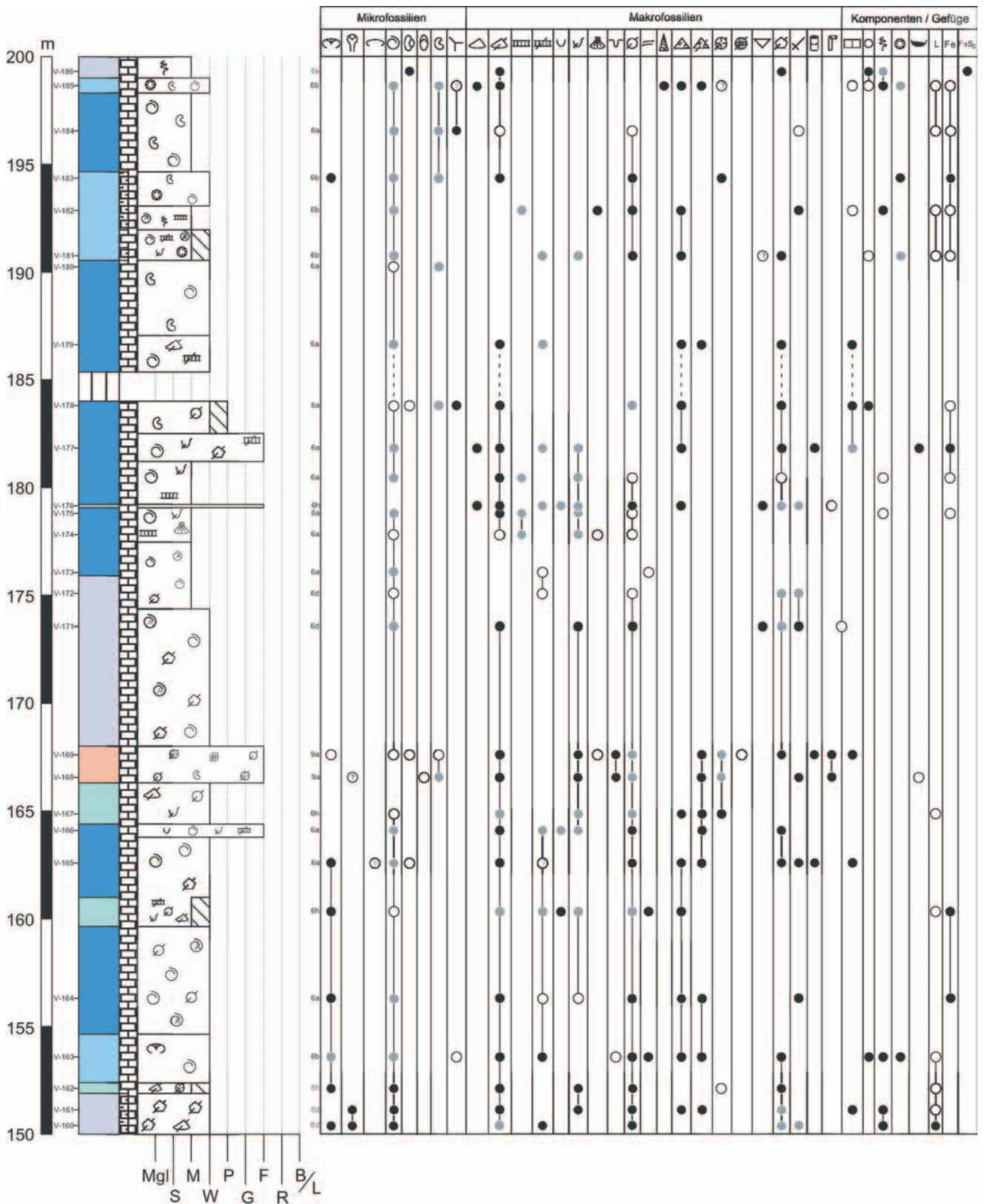


Abb. 27d: Profil Vale Verde II, Profilmeter 150 – 200; vgl. Kap. 3.2.1; zur Lage s. Abb. 5.

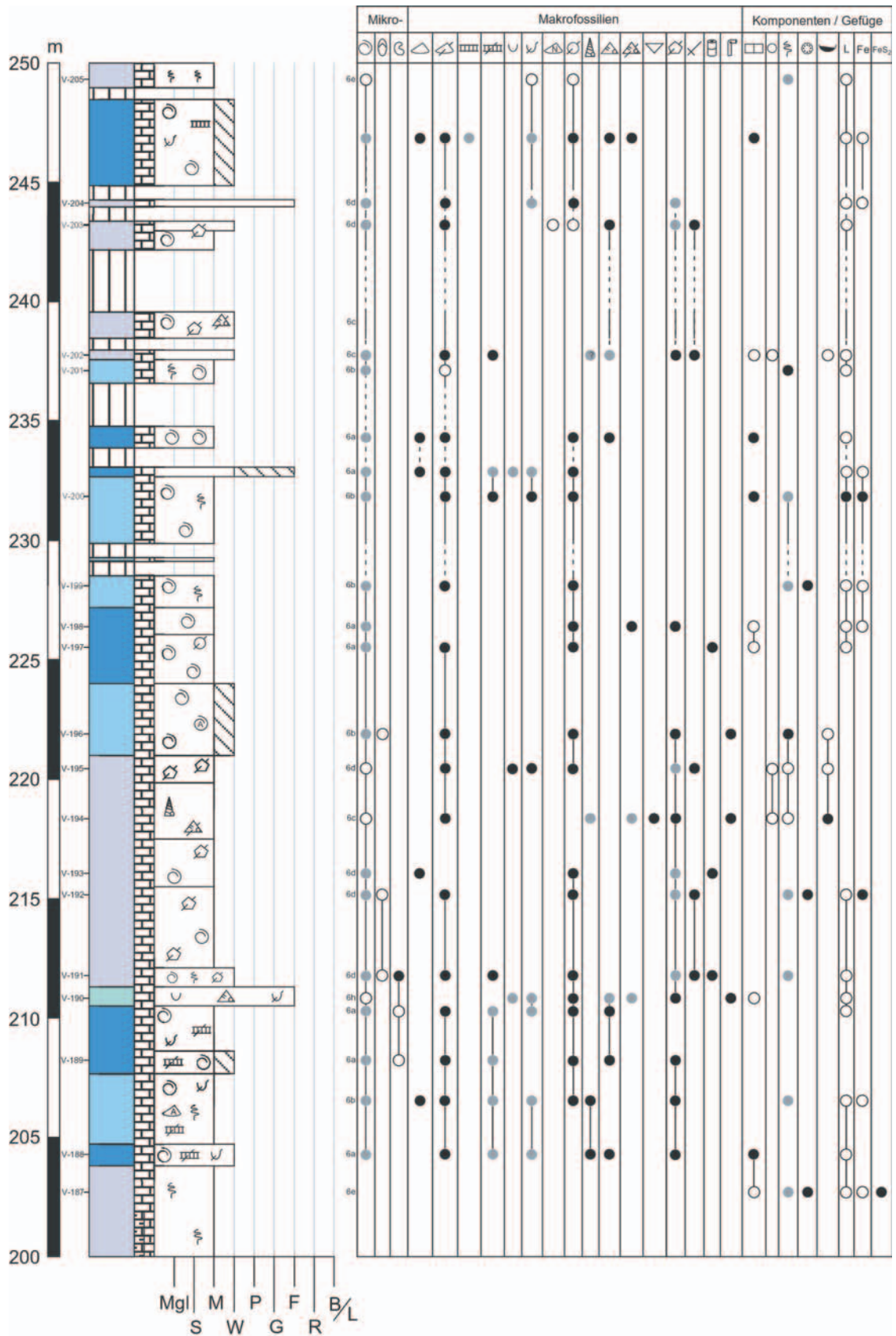


Abb. 27e: Profil Vale Verde II, Profilmeter 200 – 250; vgl. Kap. 3.2.1; zur Lage s. Abb. 5.

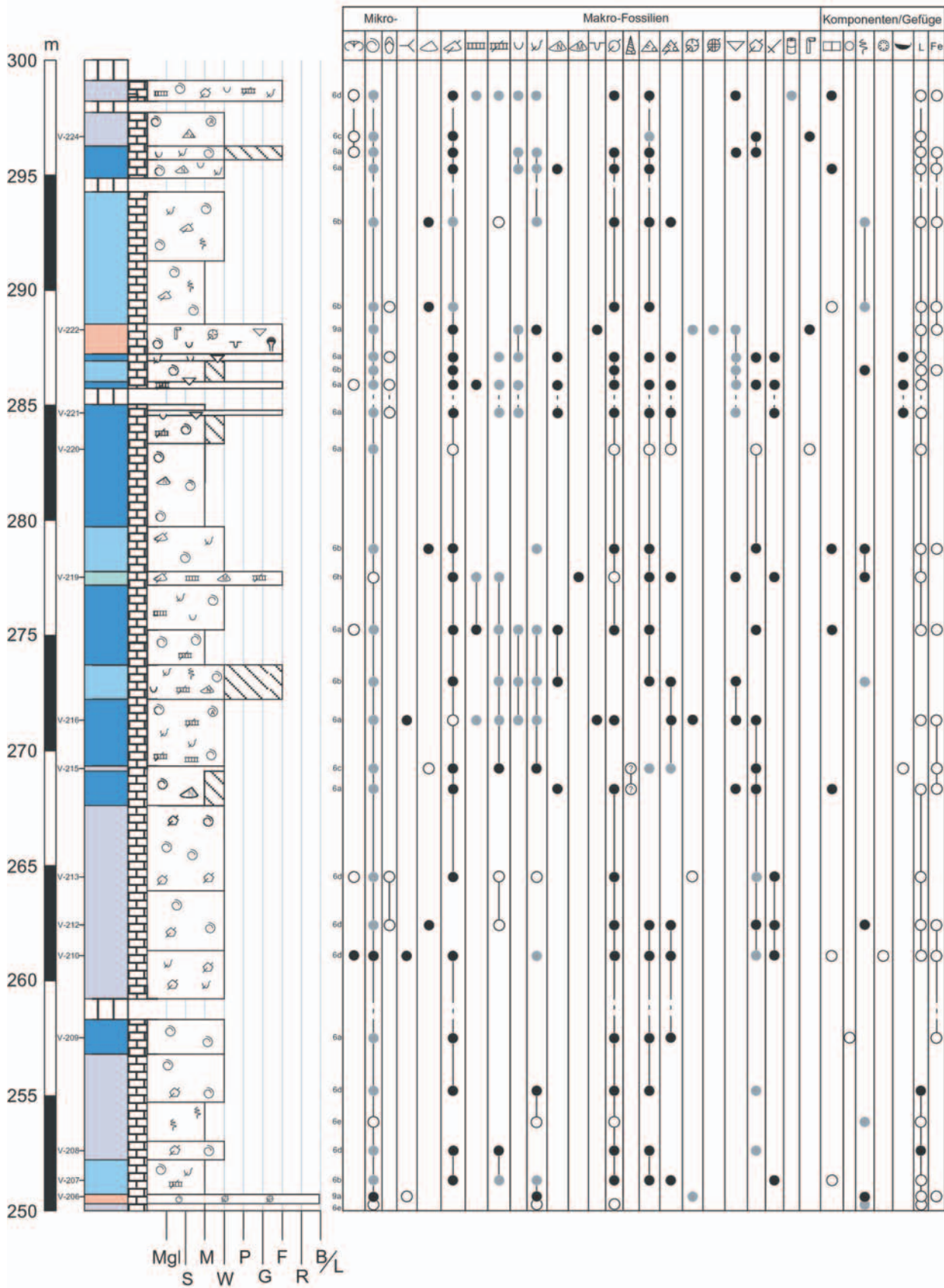


Abb. 27f: Profil Vale Verde II, Profilmeter 250 – 300; vgl. Kap. 3.2.1; zur Lage s. Abb. 5.

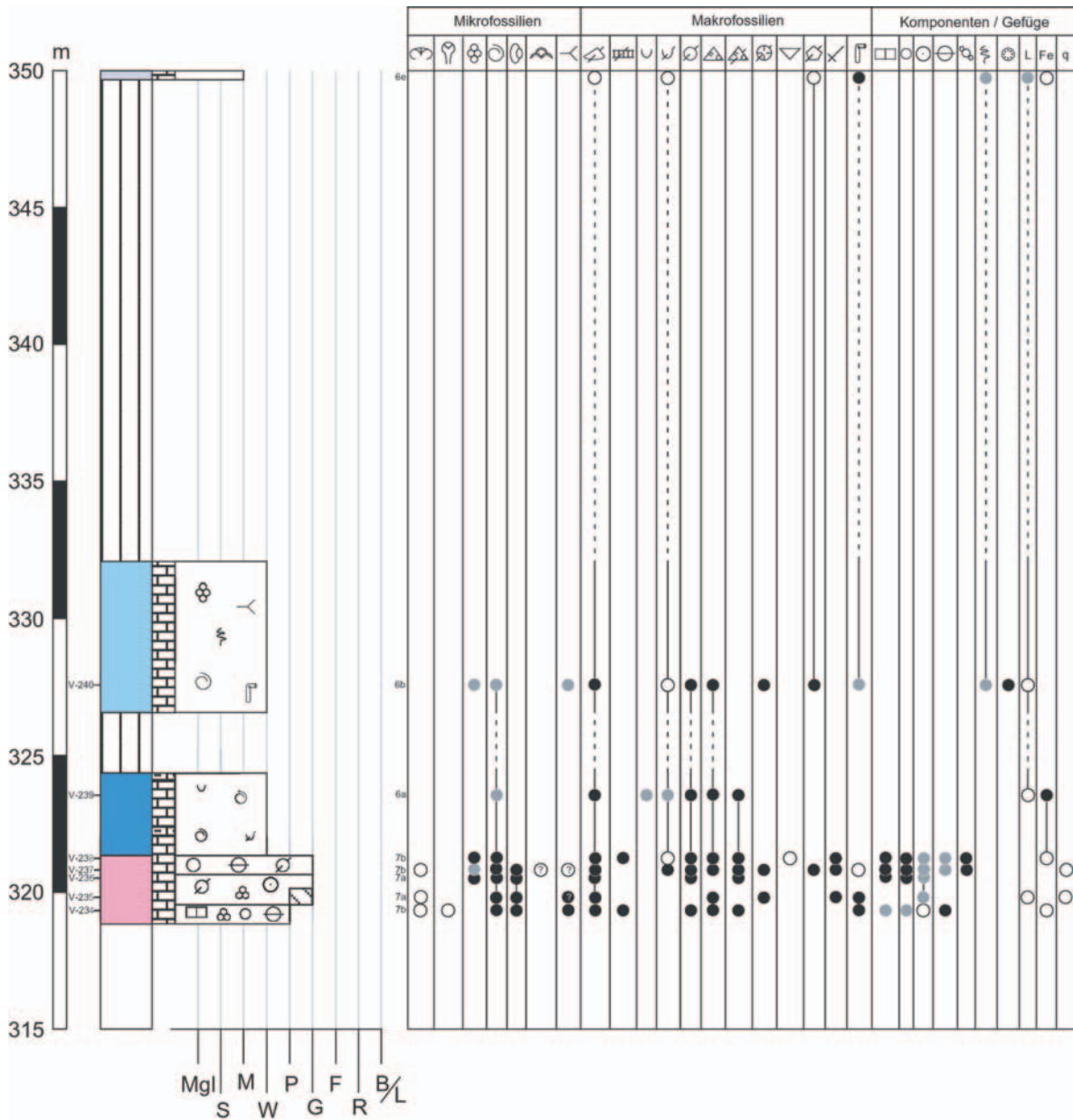


Abb. 27h: Profil Vale Verde II, Profilmeter 319 – 350; vgl. Kap. 3.2.1; zur Lage s. Abb. 5.

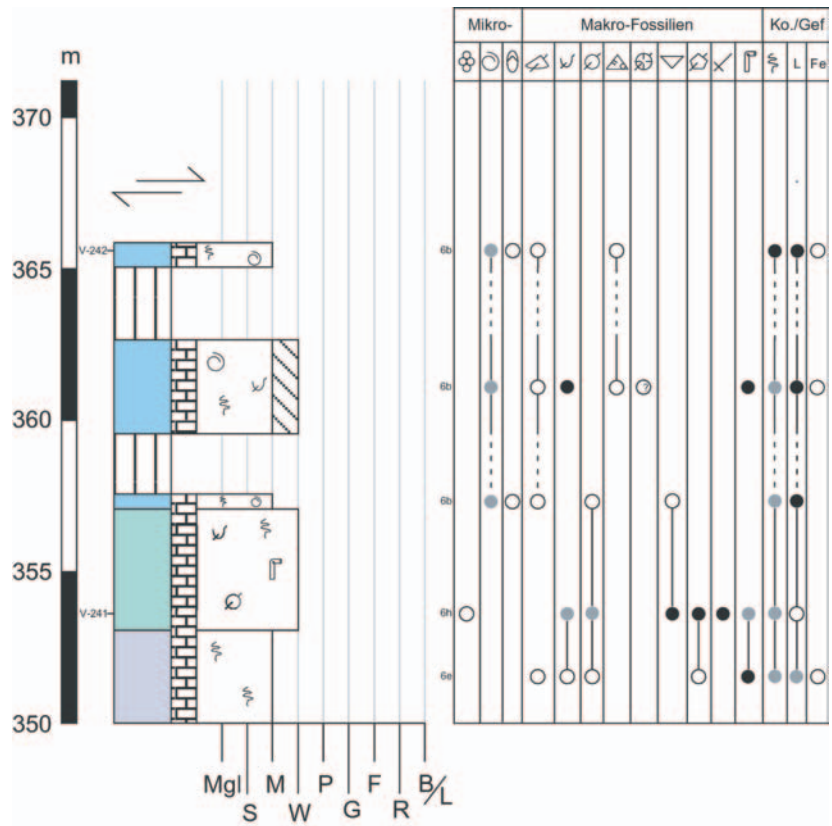


Abb. 27i: Profil Vale Verde II, Profilmeter 350 – 365; vgl. Kap. 3.2.1; zur Lage s. Abb. 5.

Serra dos Candeeiros (zentraler Südrand)

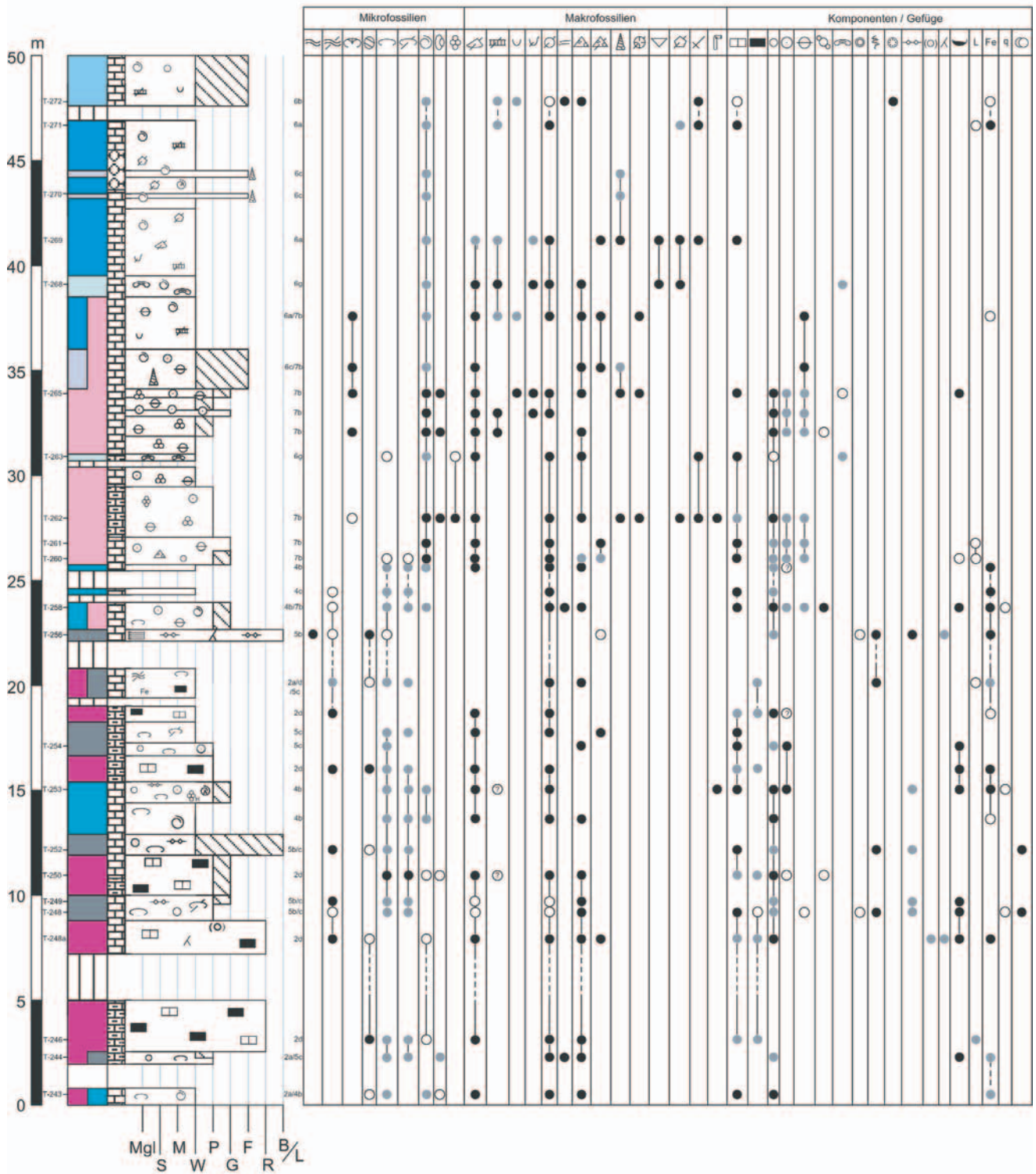


Abb. 28a: Profil Vale da Trave, Profilmeter 0 – 50; vgl. Kap. 3.2.2; zur Lage s. Abb. 5.

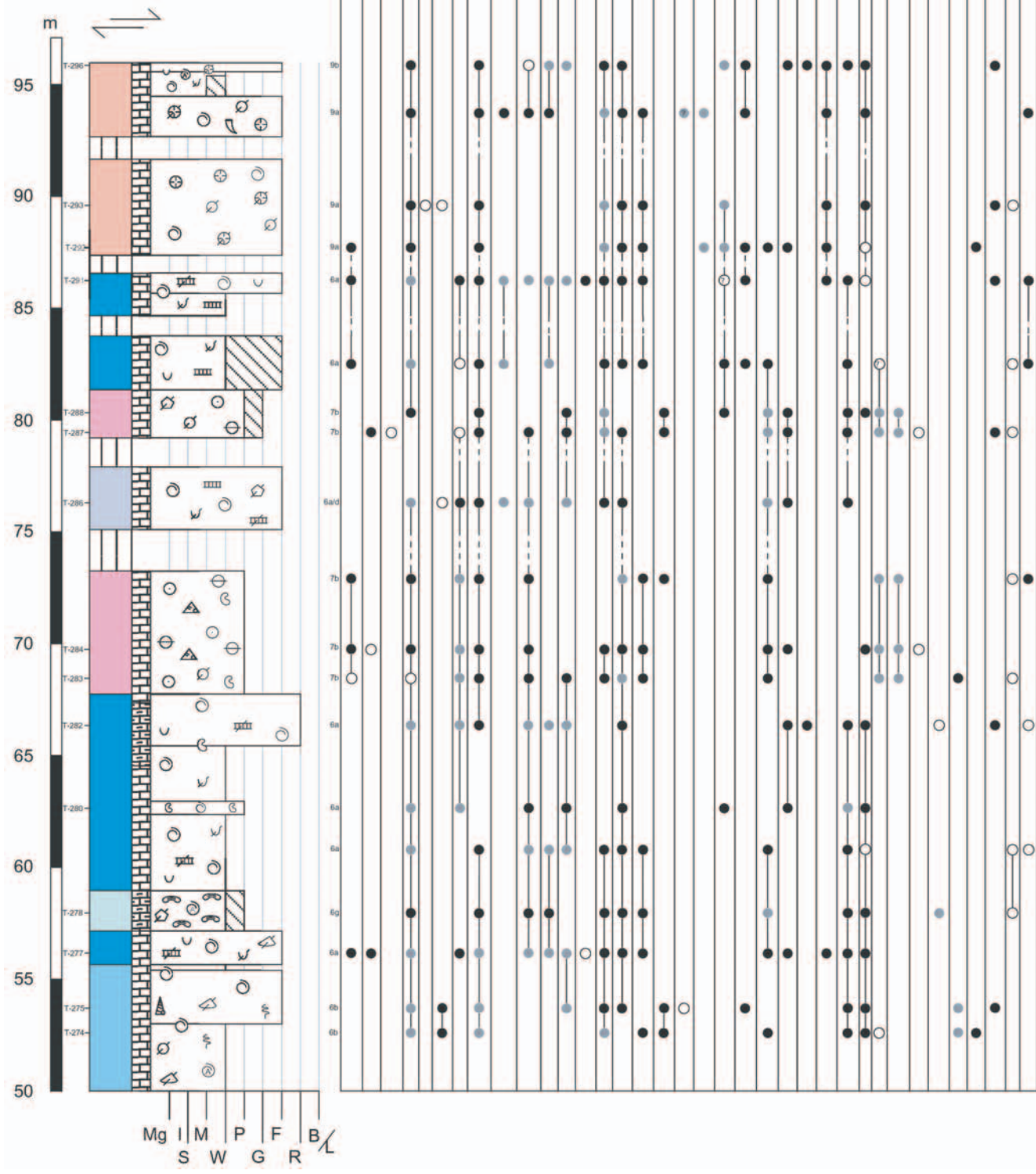


Abb. 28b: Profil Vale da Trave, Profilmeter 50 – 96; vgl. Kap. 3.2.2; zur Lage s. Abb. 5.

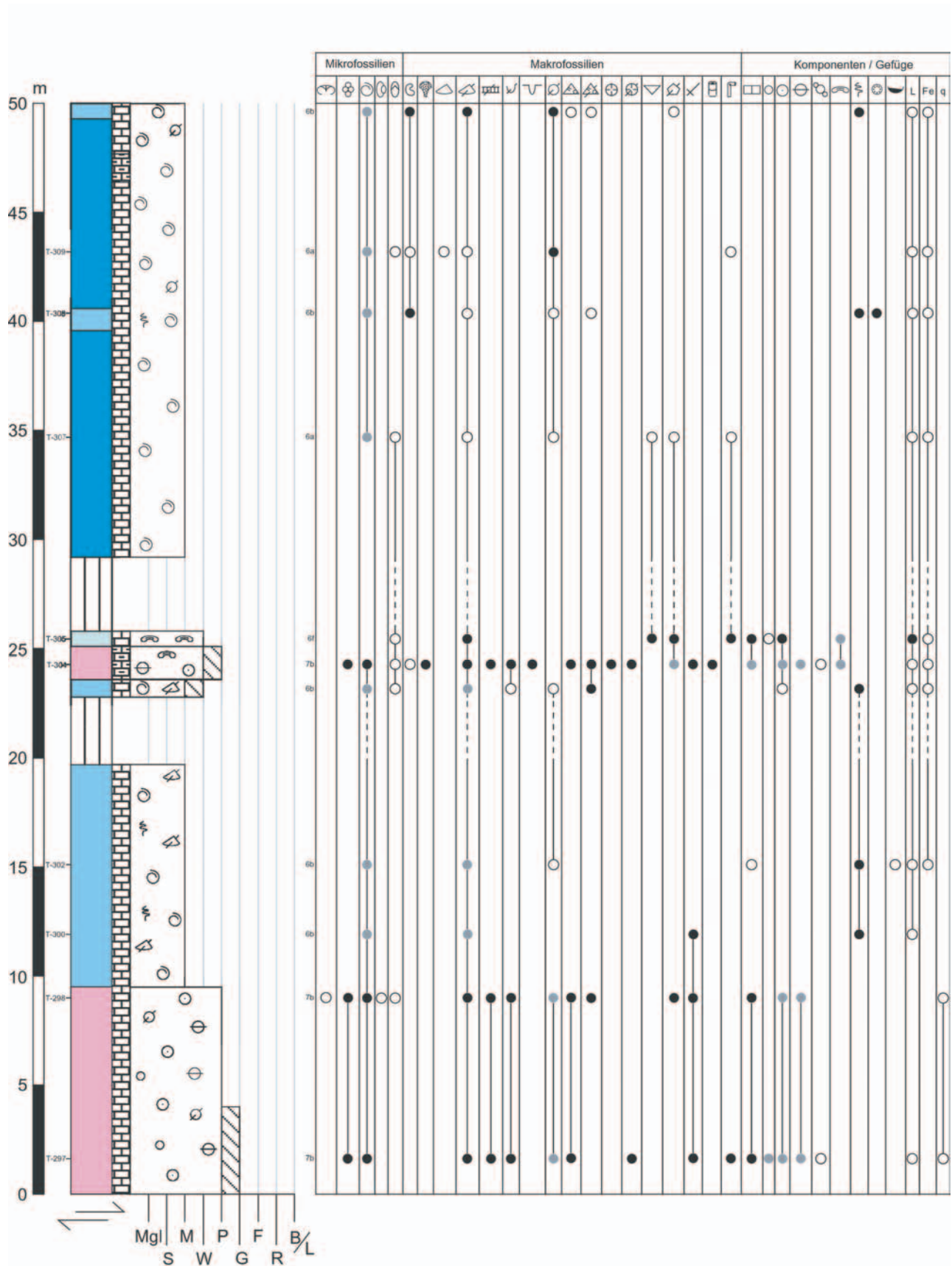


Abb. 29a: Profil Murteira, Profilmeter 0 – 50; vgl. Kap. 3.2.3; zur Lage s. Abb. 5.

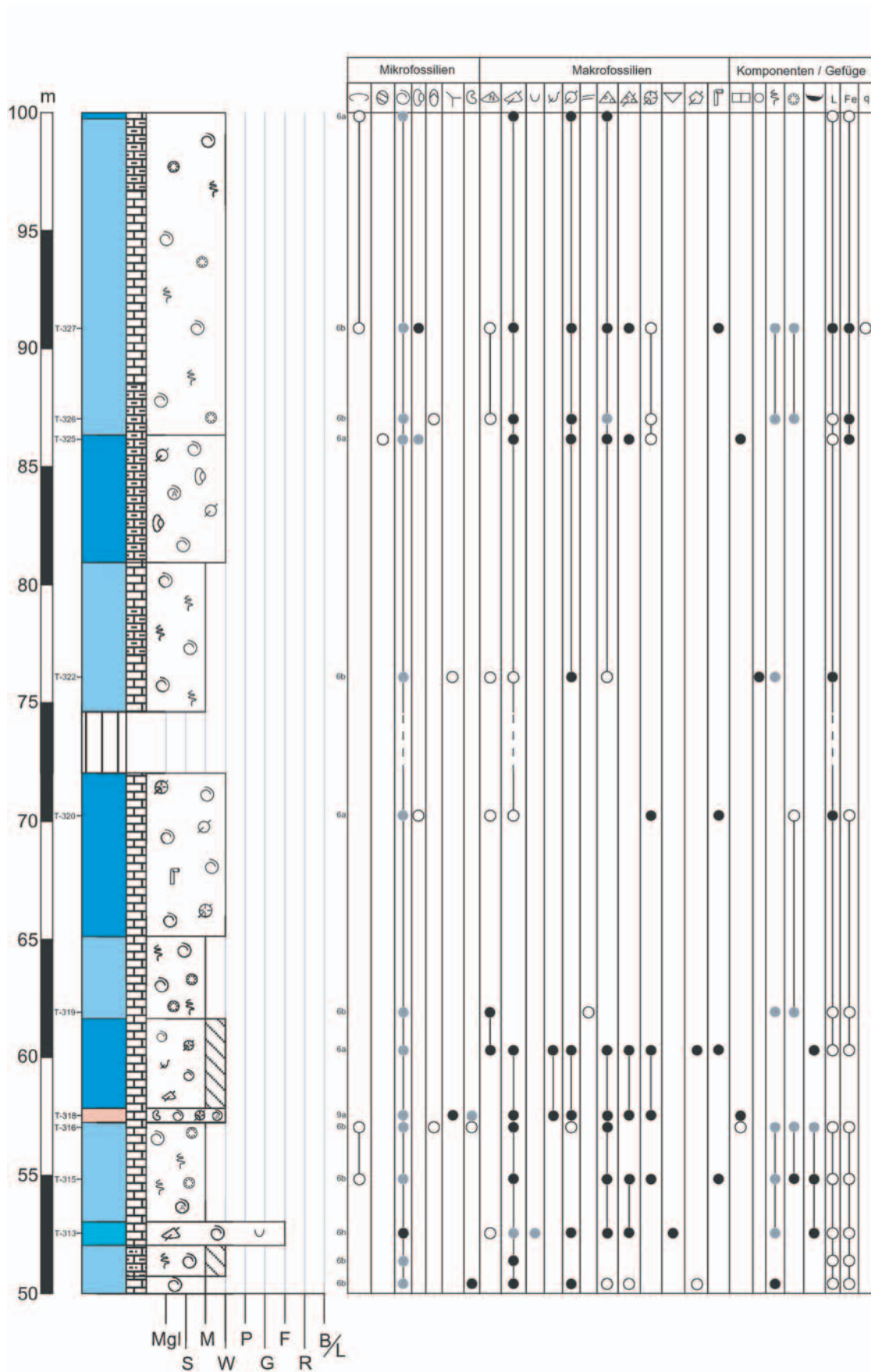


Abb. 29b: Profil Murteira, Profilmeter 50 – 100; vgl. Kap. 3.2.3; zur Lage s. Abb. 5.

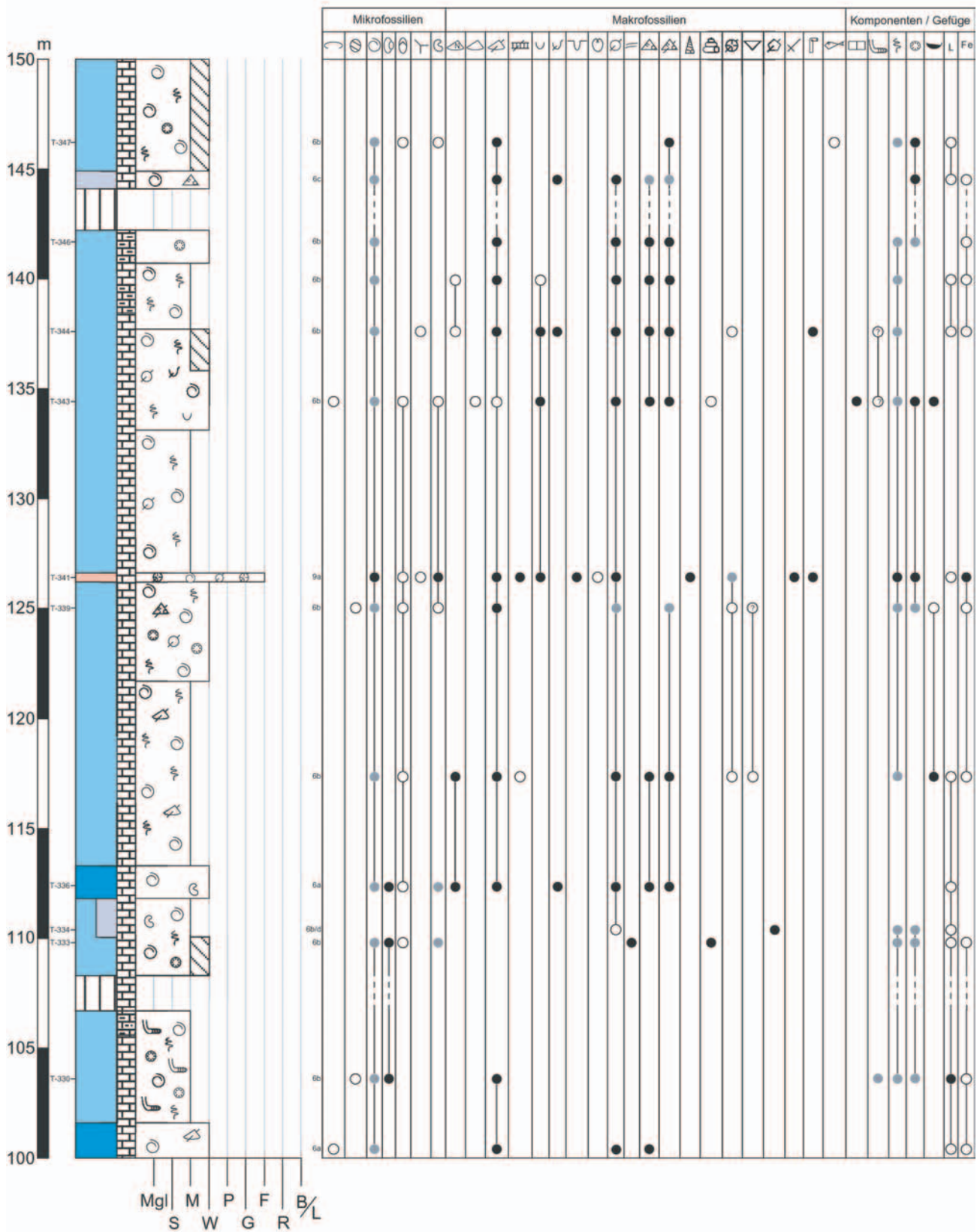


Abb. 29c: Profil Murteira, Profilmeter 100 – 150; vgl. Kap. 3.2.3; zur Lage s. Abb. 5.

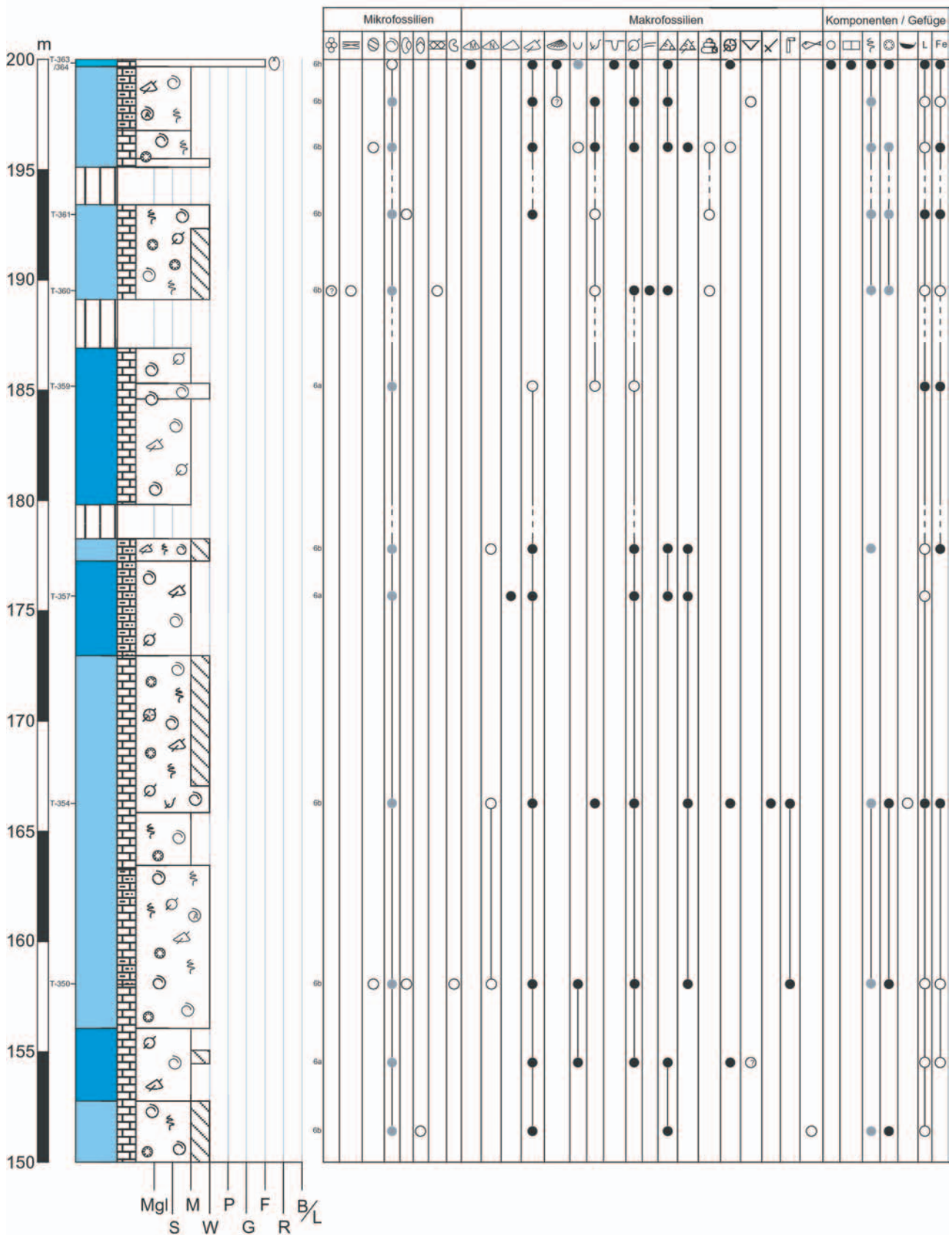


Abb. 29d: Profil Murteira, Profilmeter 150 – 200; vgl. Kap. 3.2.3; zur Lage s. Abb. 5.

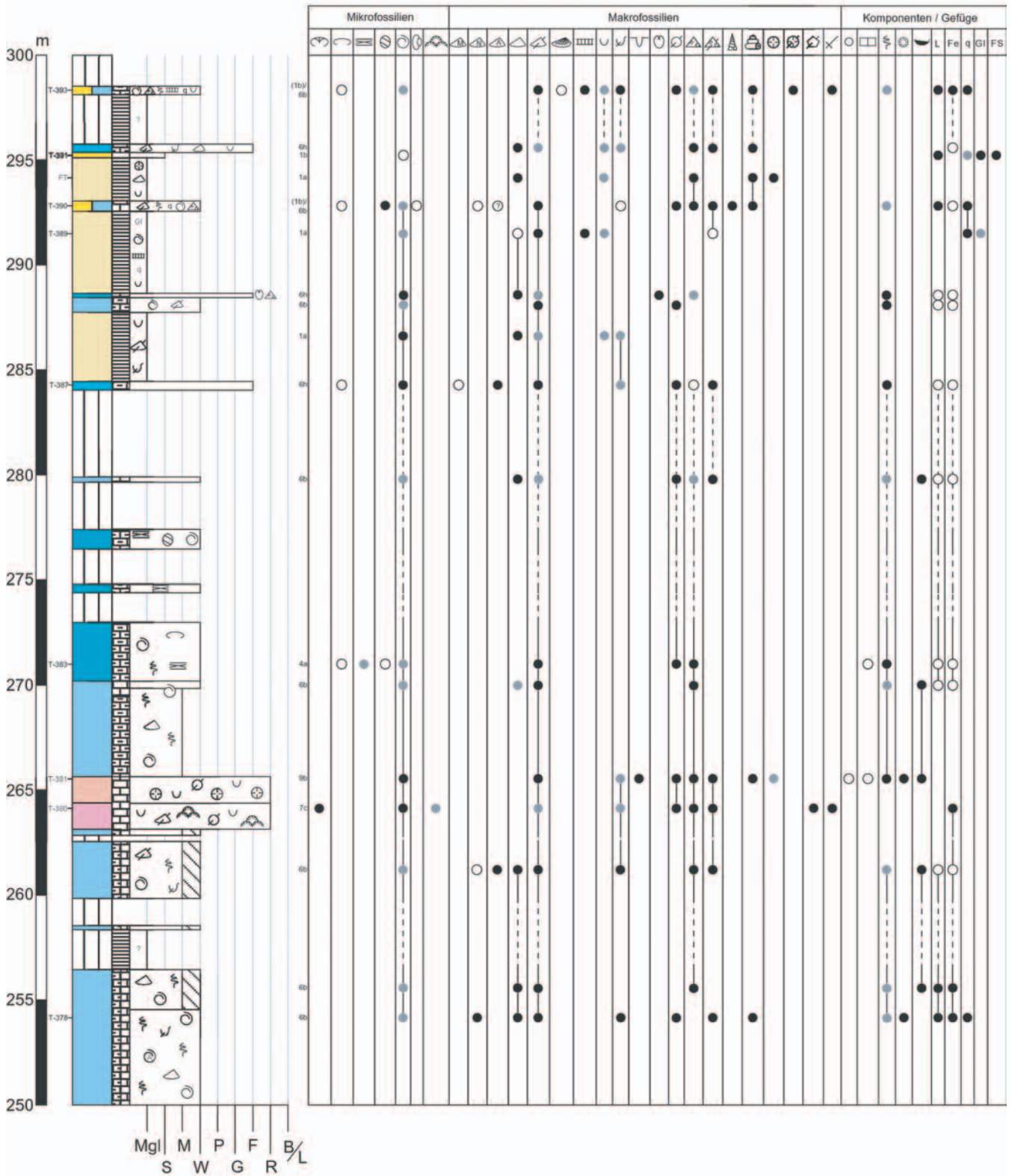


Abb. 29f: Profil Murteira, Profilmeter 250 - 300; vgl. Kap. 3.2.3; zur Lage s. Abb. 5.

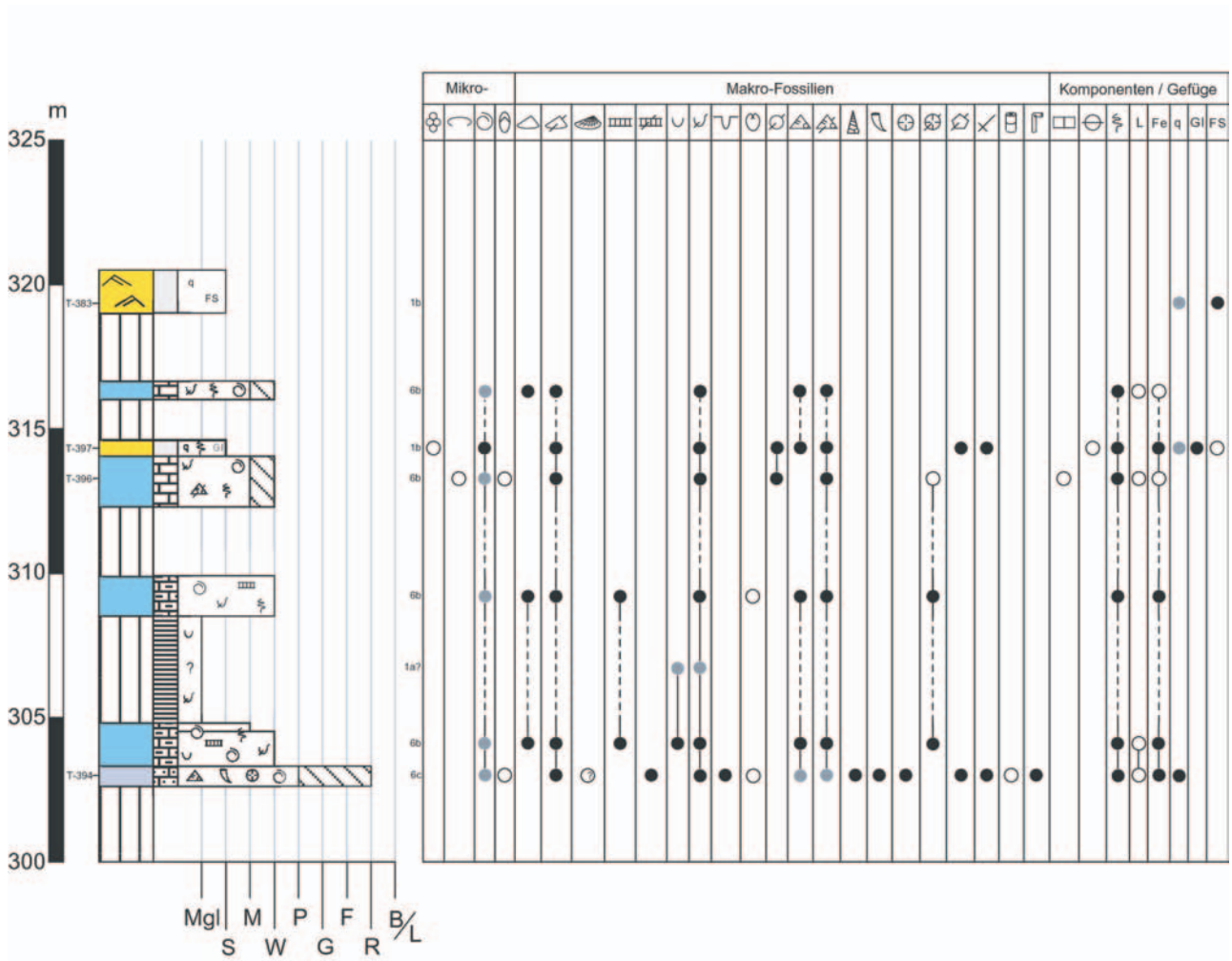


Abb. 29g: Profil Murteira, Profilmeter 300 - 316; vgl. Kap. 3.2.3; zur Lage s. Abb. 5.

Serra dos Candeeiros (West)

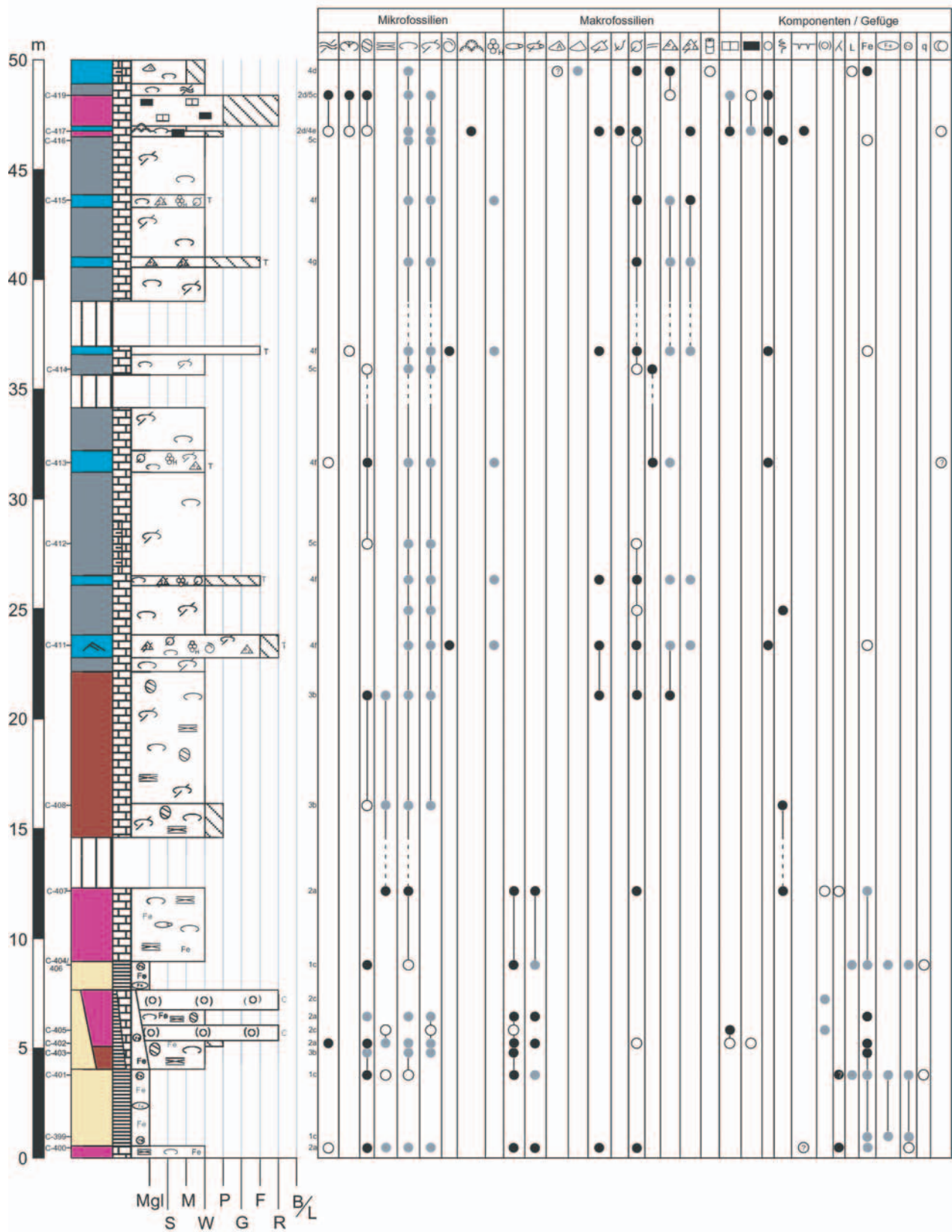


Abb. 30a: Profil Casal de Vale de Ventos I, Profilmeter 0 – 50; vgl. Kap. 3.2.4; zur Lage s. Abb. 6.

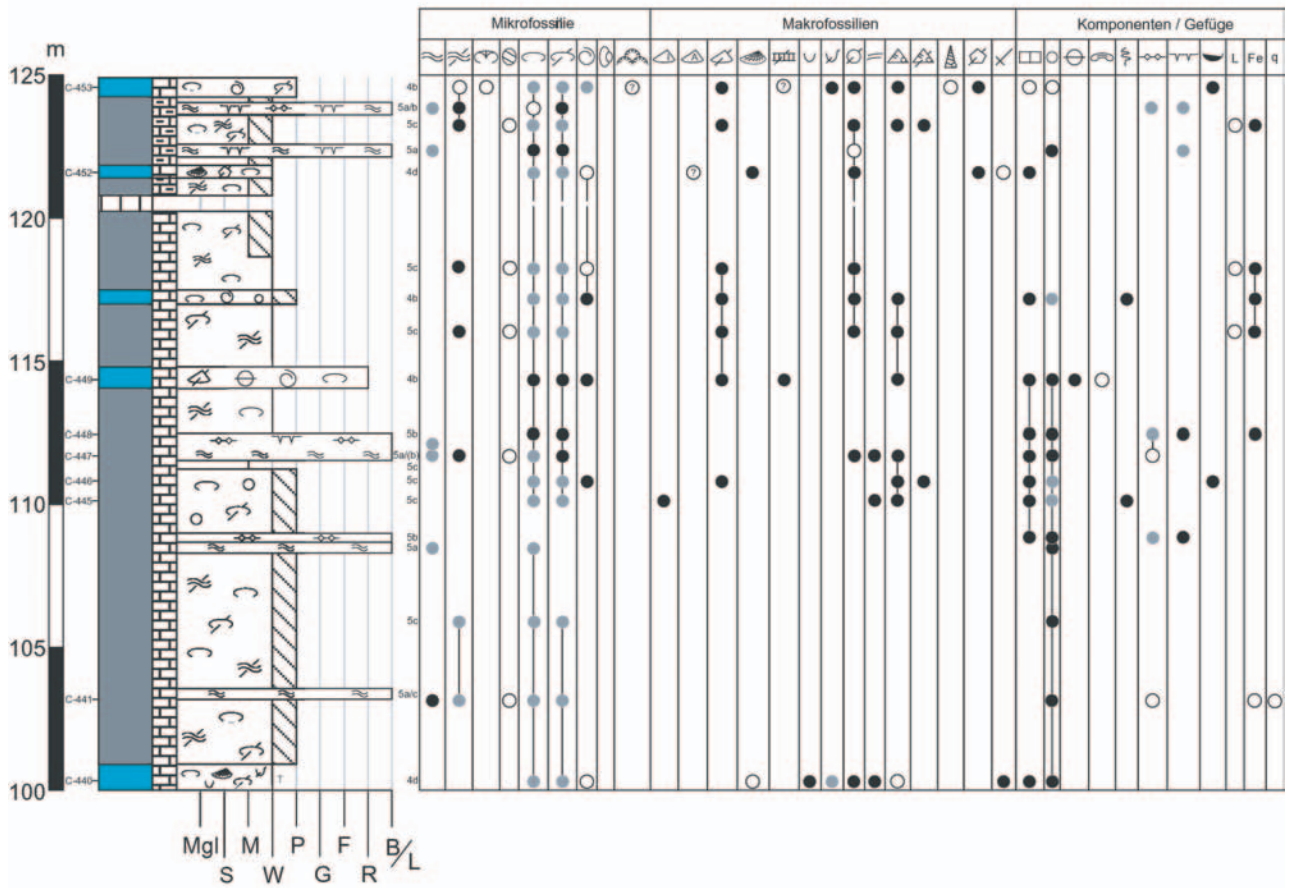


Abb. 30c: Profil Casal de Vale de Ventos I, Profilmeter 100 – 125; vgl. Kap. 3.2.4; zur Lage s. Abb. 6.

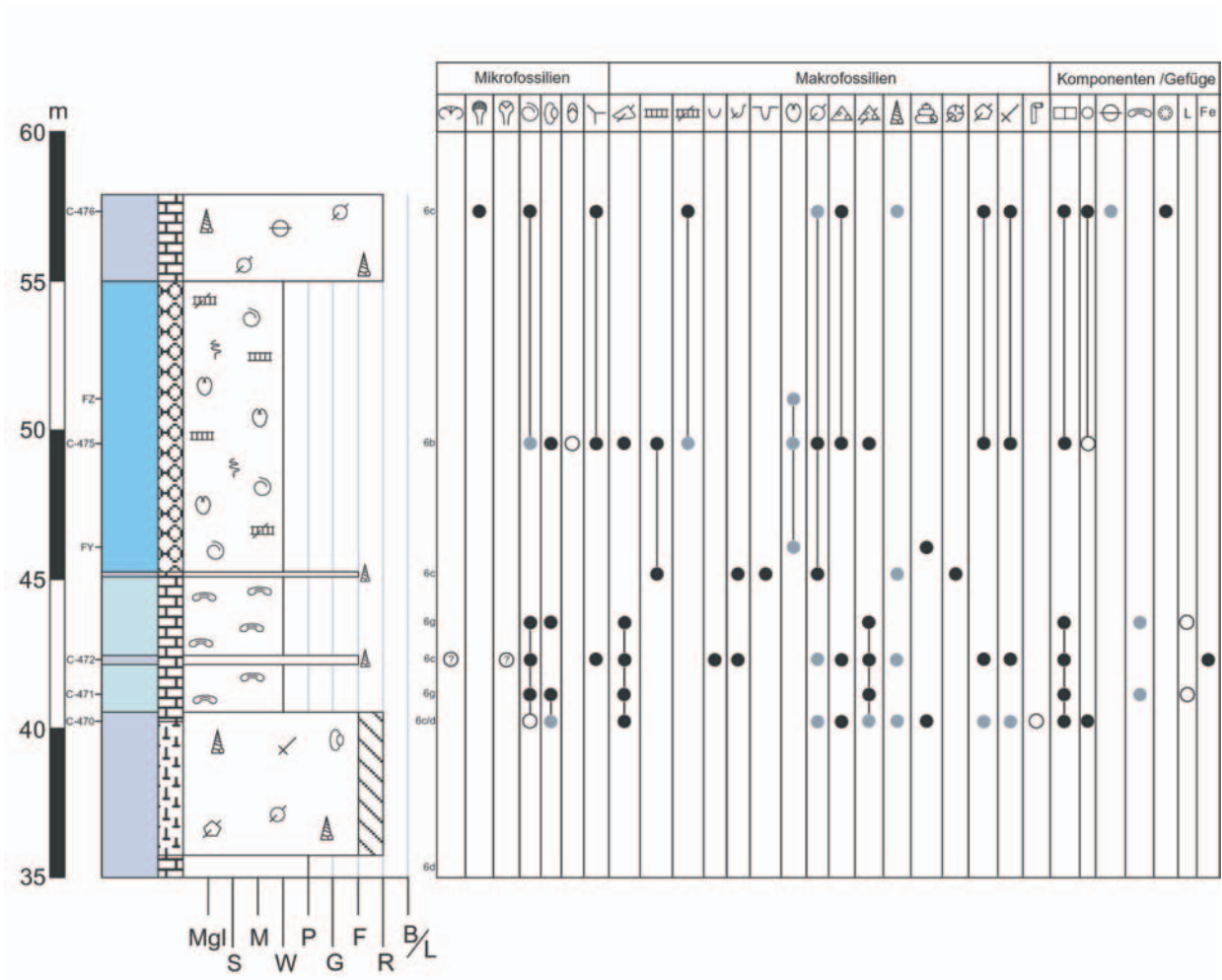


Abb. 31b: Profil Casal de Vale de Ventos II, Profilmeter 35 – 58; vgl. Kap. 3.2.4; zur Lage s. Abb. 6.

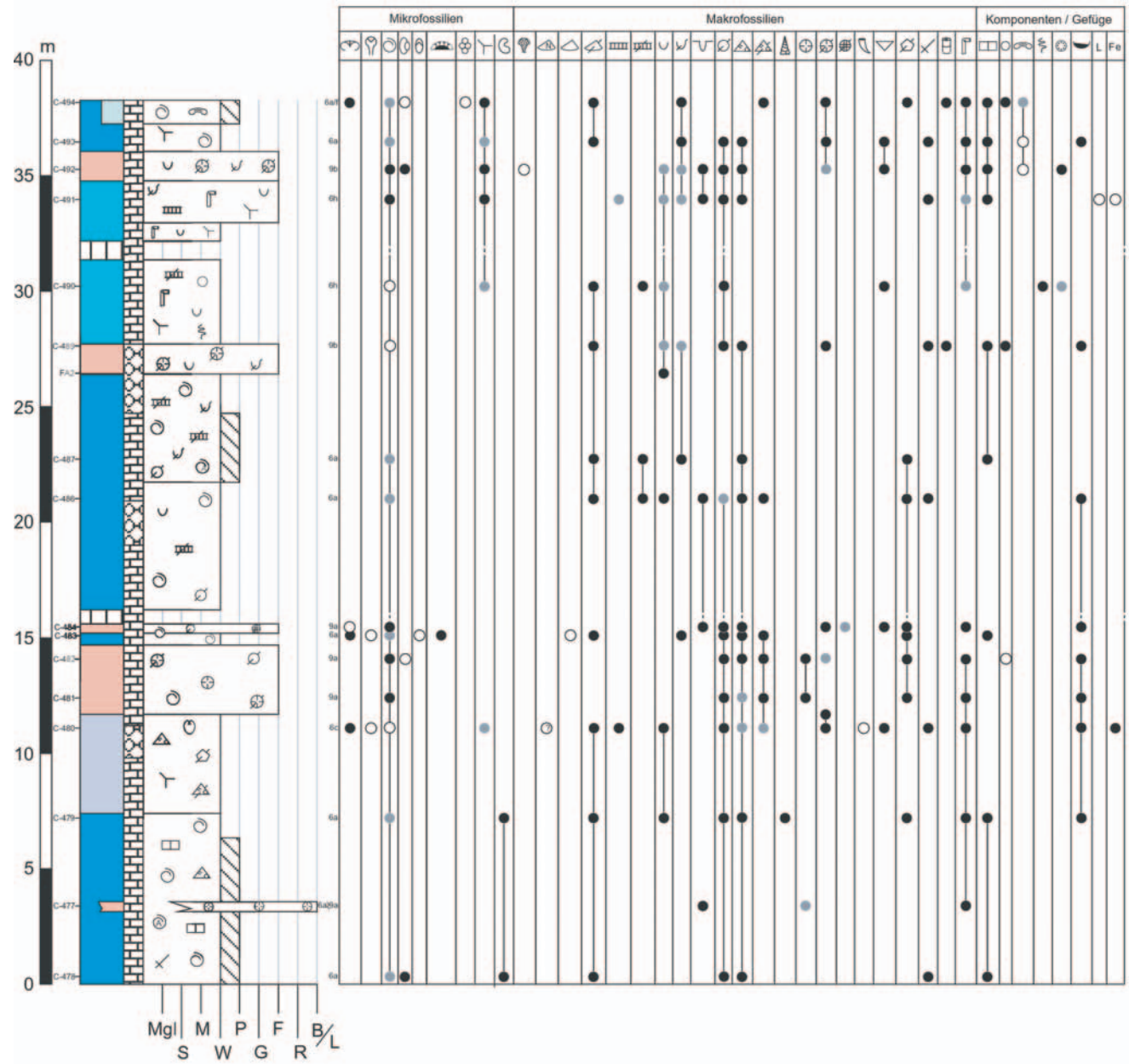


Abb. 32: Profil Casal de Vale de Ventos III, Profilmeter 0 – 38; vgl. Kap. 3.2.4; zur Lage s. Abb. 6.

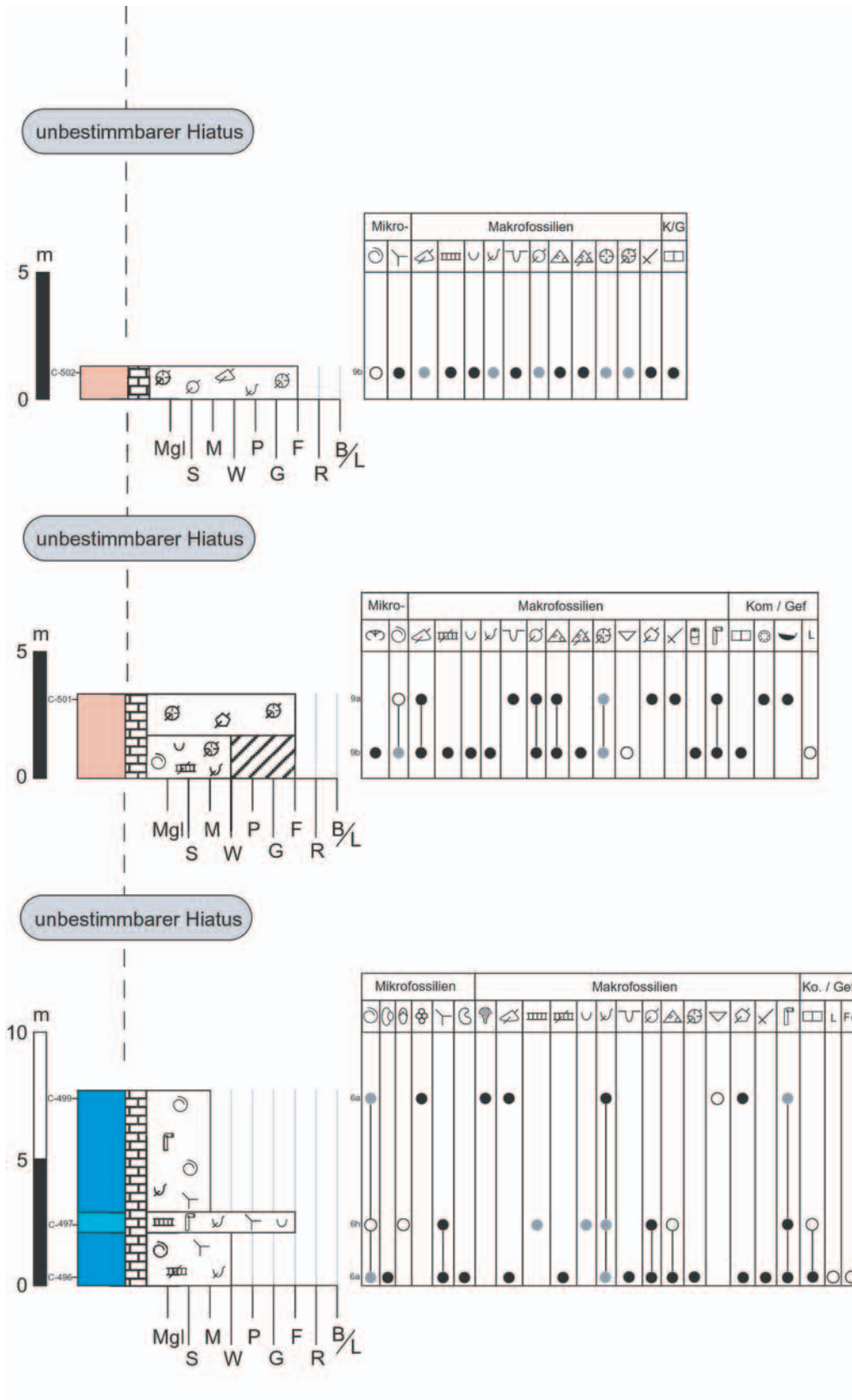


Abb. 33a: Profil Casal de Vale de Ventos IV, Aufschlußpunkte 1, 2, 3; vgl. Kap. 3.2.4; zur Lage s. Abb. 6.

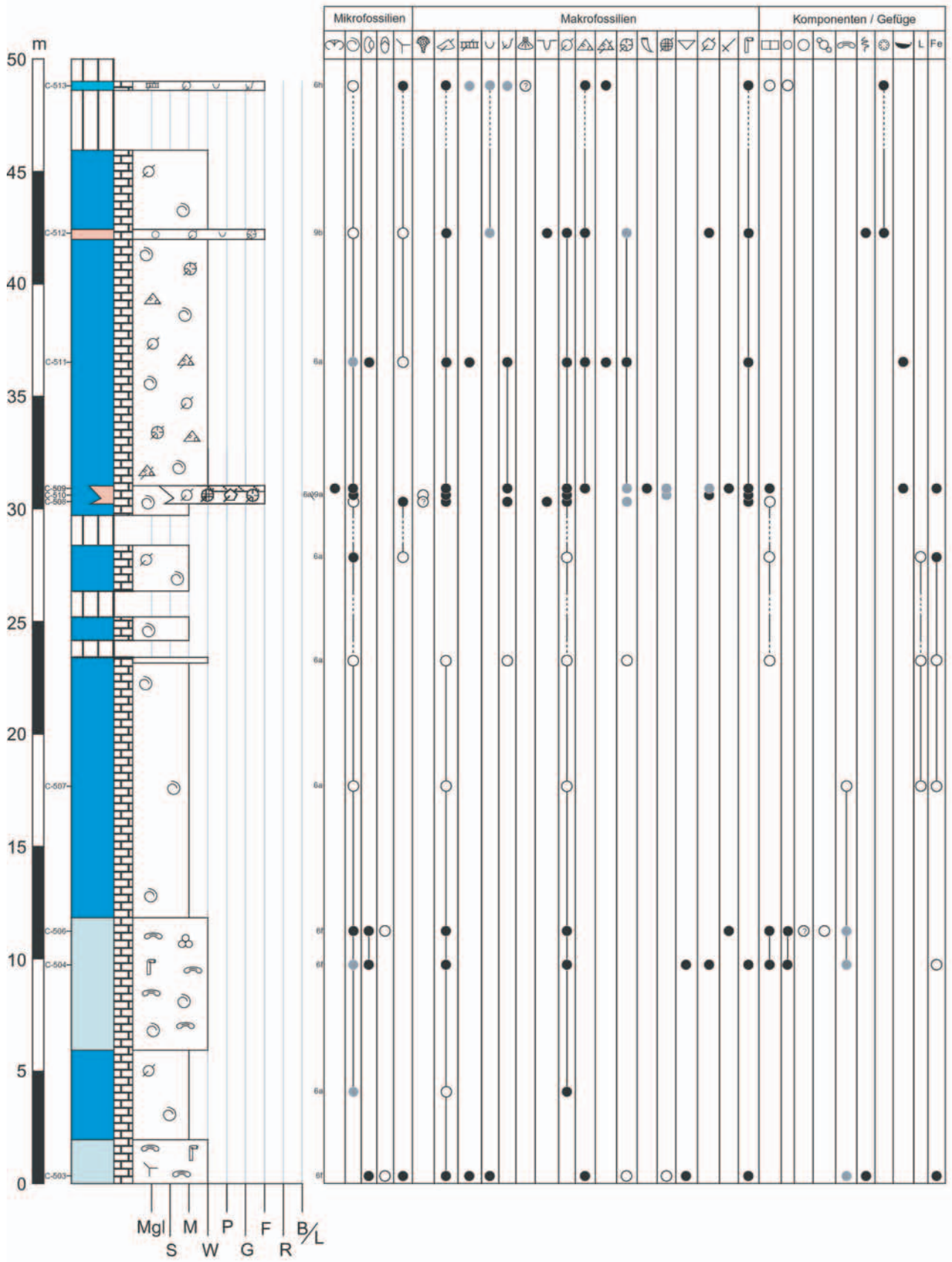
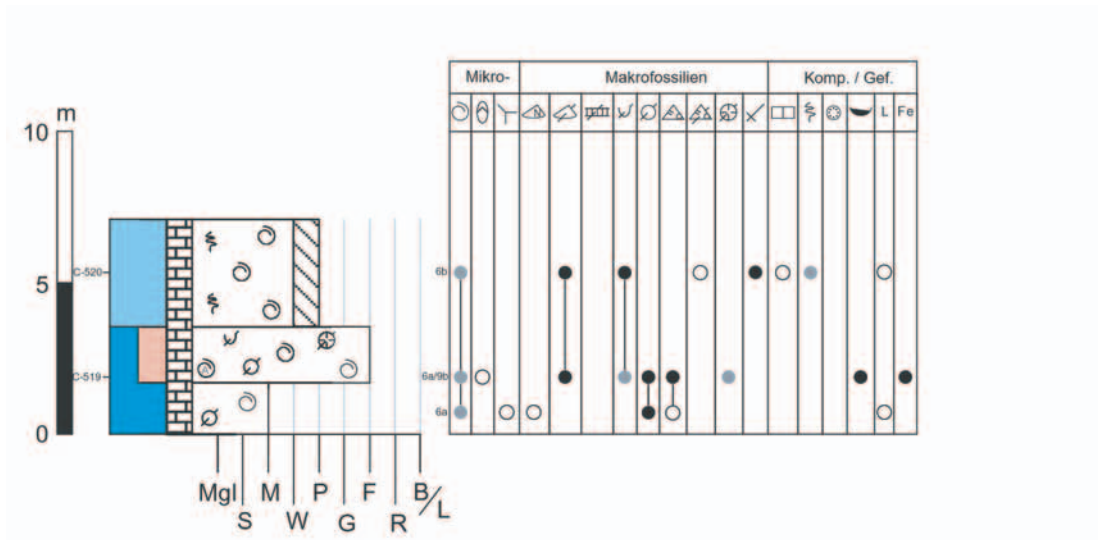


Abb. 33b: Profil Casal de Vale de Ventos IV, Aufschlußpunkt 4, Profilmeter 0 – 50; vgl. Kap. 3.2.4; zur Lage s. Abb. 6.



Profilfortsetzung ca. 80m WNW in Richtung Lagoa da Talhas und ca. 60-70m nach NNW versetzt

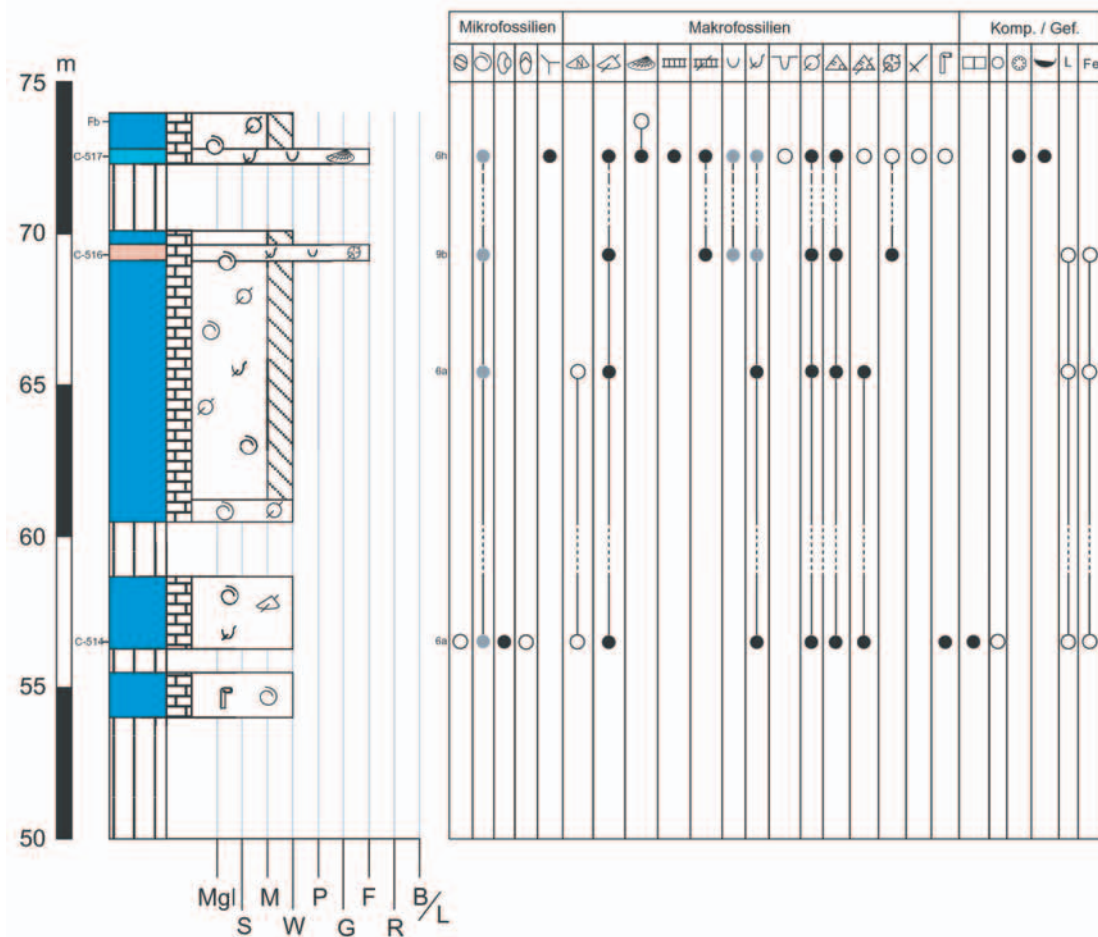
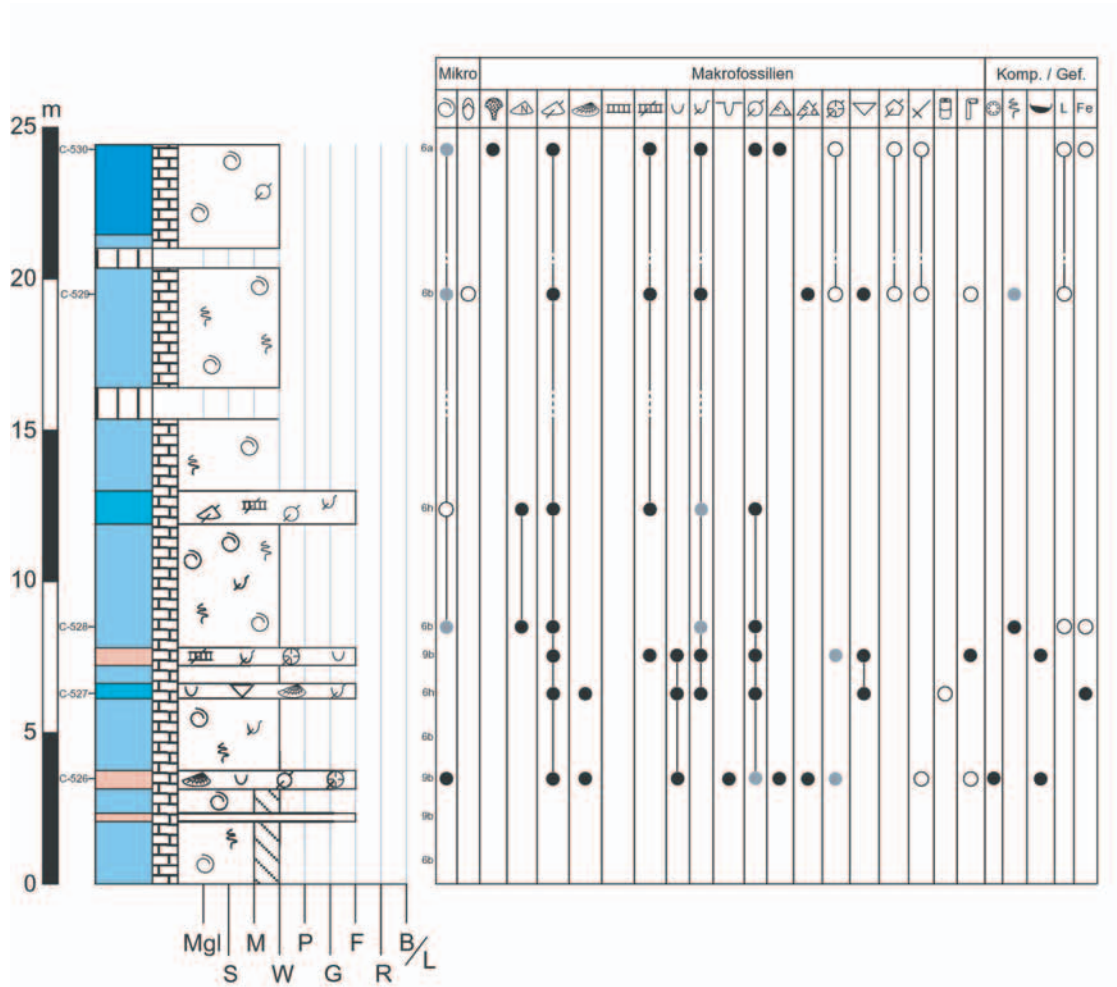


Abb. 33c: Profil Casal de Vale de Ventos IV, Aufschlußpunkt 4 (Fortsetzung), Profilmeter 50 – 74,5; Aufschlußpunkt 5; vgl. Kap. 3.2.4; zur Lage s. Abb. 6.



Profilfortsetzung ca. 750 m nach SSW , beginnend an der Straße Lagoa das Talas - Carvalhal links neben einem freistehenden Bauernhof

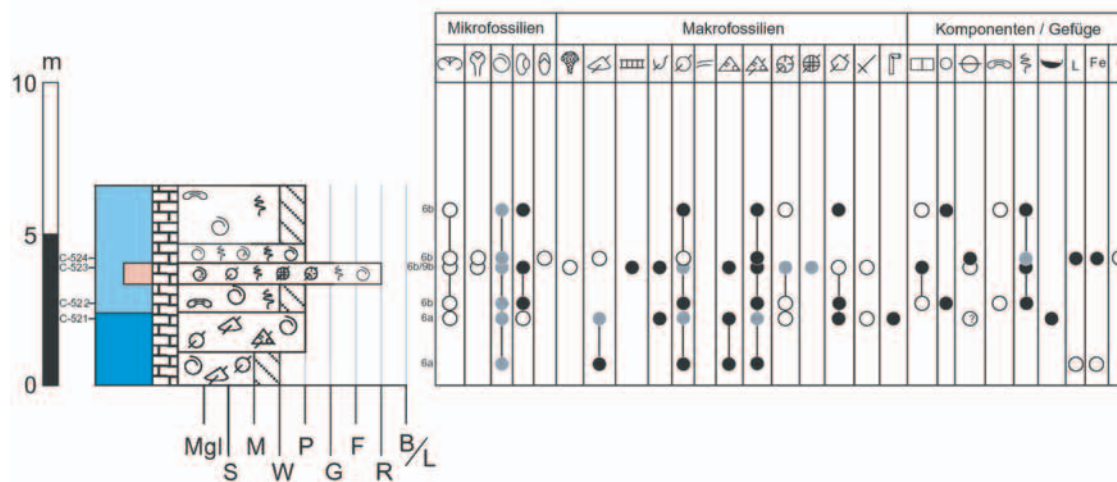


Abb. 33d: Profil Casal de Vale de Ventos IV, Aufschlusspunkte 6, 7; vgl. Kap. 3.2.4; zur Lage s. Abb. 6.

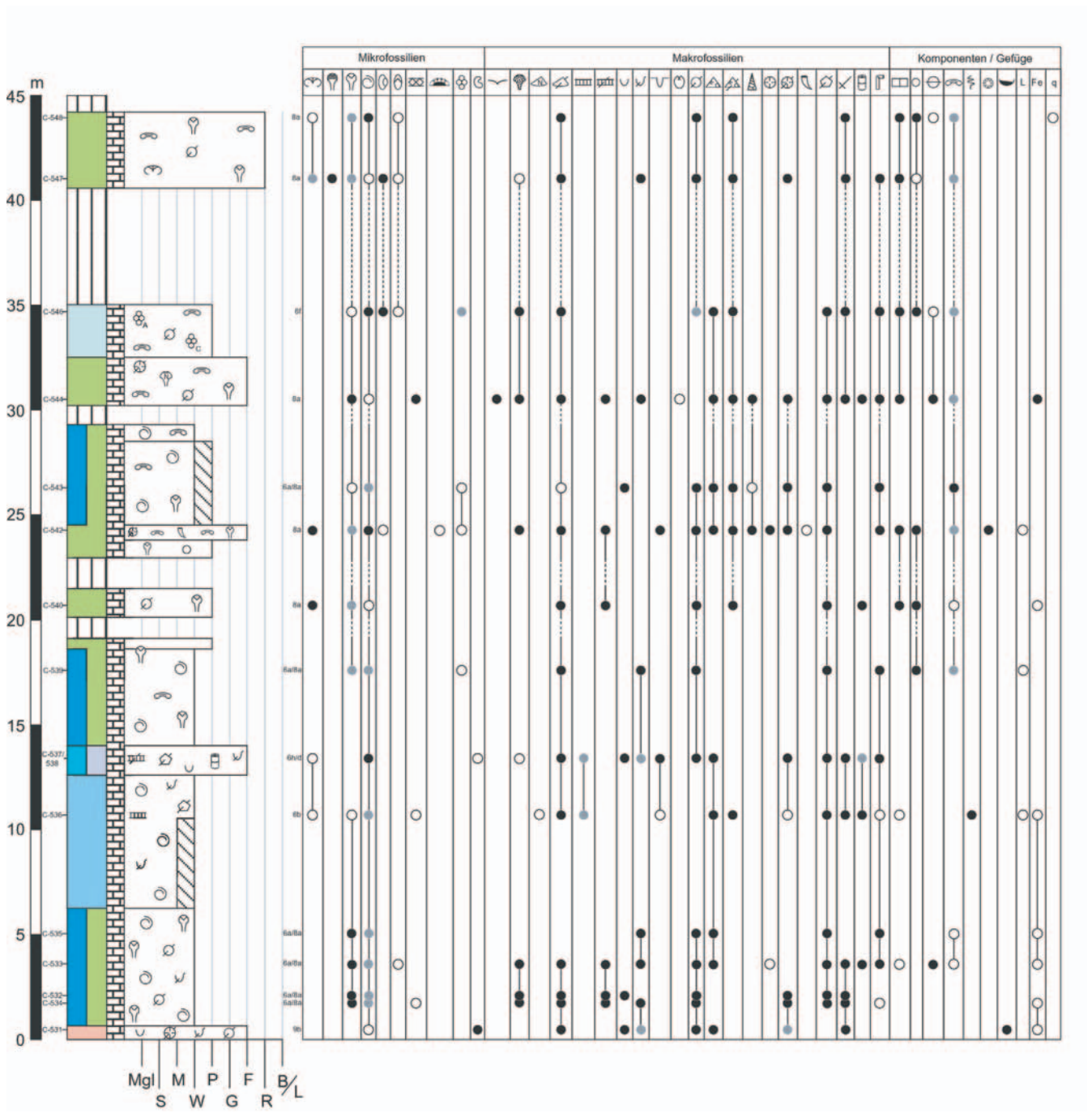


Abb. 33e: Profil Casal de Vale de Ventos IV, Aufschlußpunkt 8, Profilmeter 0 – 45, Profil neu angesetzt; vgl. Kap. 3.2.4; zur Lage s. Abb. 6.

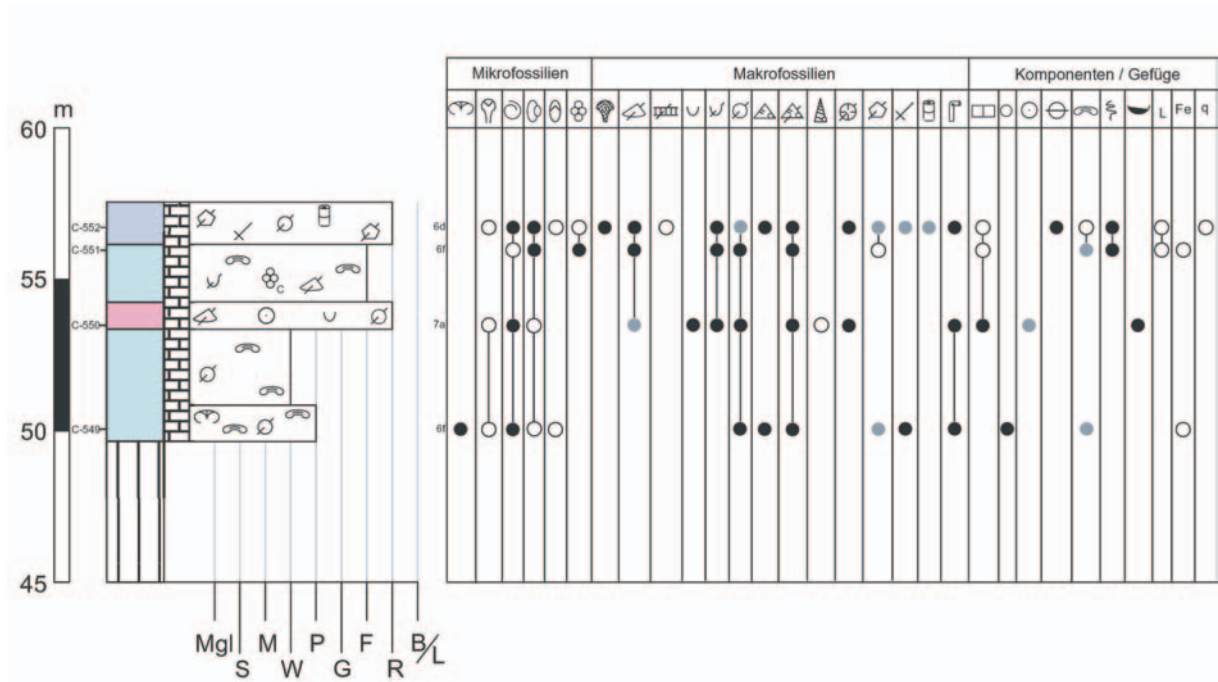


Abb. 33f: Profil Casal de Vale de Ventos IV, Aufschlußpunkt 8 (Fortsetzung), Profilmeter 45 – 57,5; vgl. Kap. 3.2.4; zur Lage s. Abb. 6.

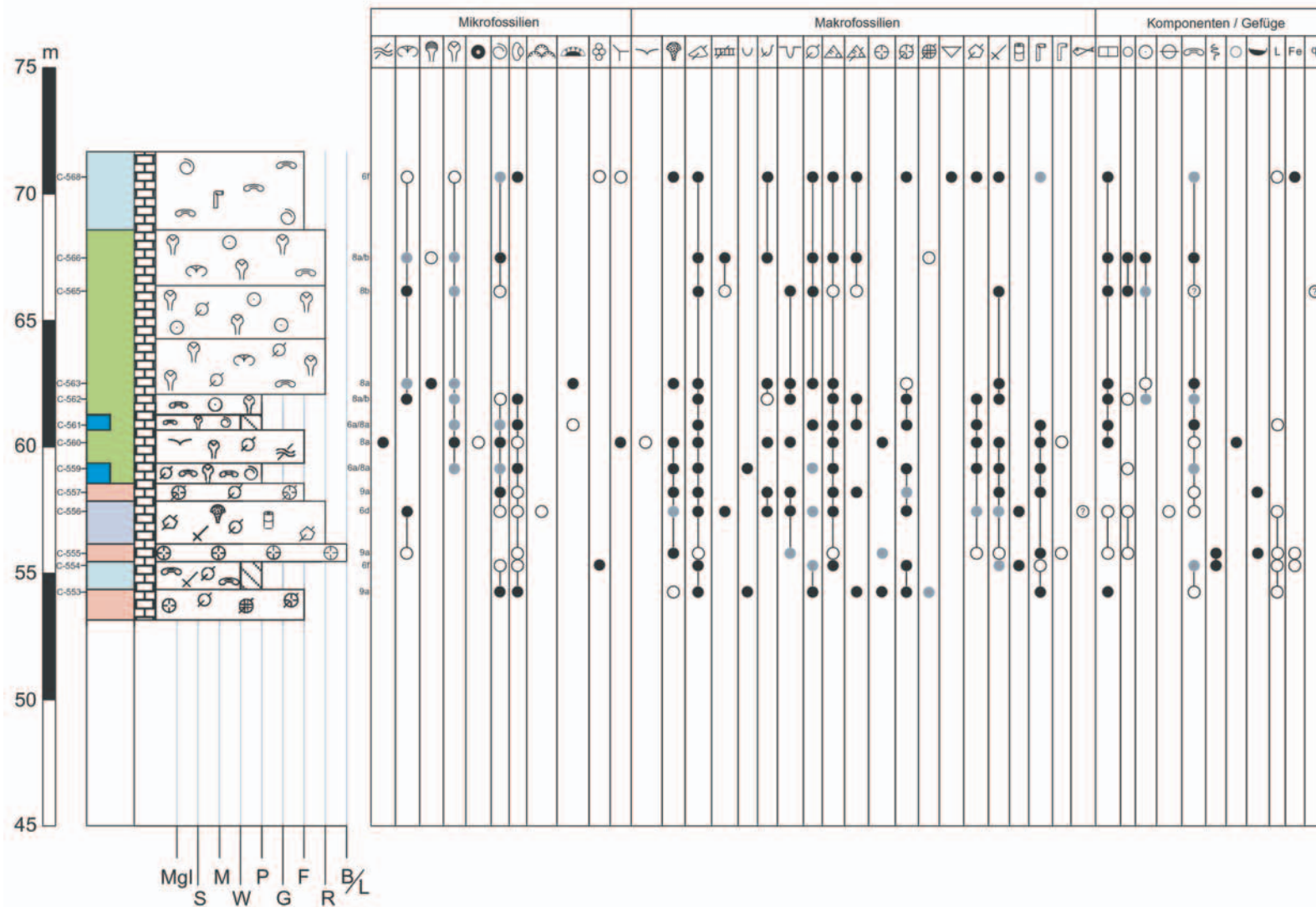


Abb. 33g: Profil Casal de Vale de Ventos IV, Aufschlußpunkt 9, Profilmeter 53 – 71,5, geringe Profilüberlappung mit Aufschlußpunkt 8; vgl. Kap. 3.2.4; zur Lage s. Abb. 6.

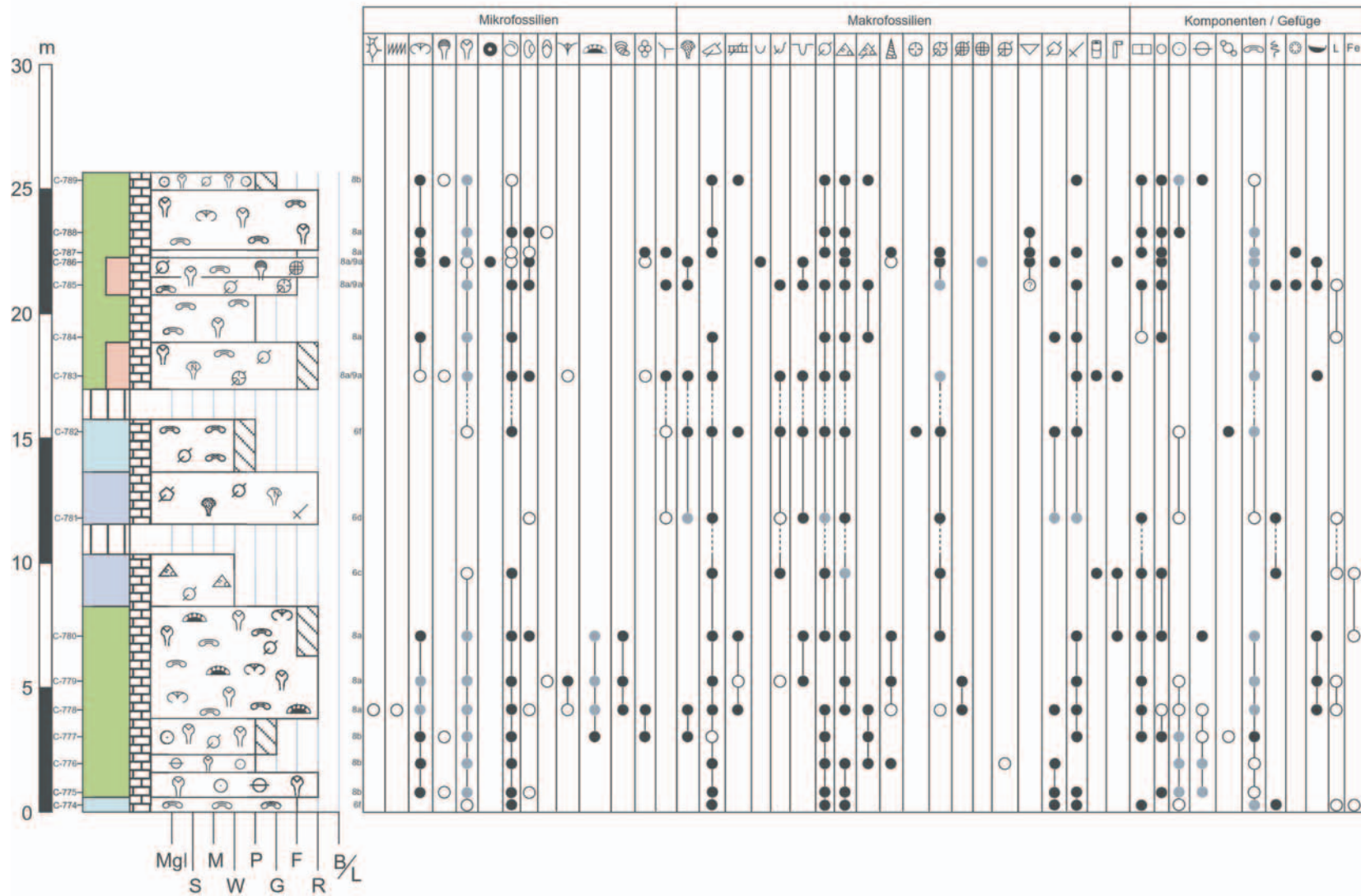


Abb. 33h: Profil Casal de Vale de Ventos IV, Aufschlußpunkt 10, Profilmeter 0 – 25,5, Profil neu angesetzt; vgl. Kap. 3.2.4; zur Lage s. Abb. 6.

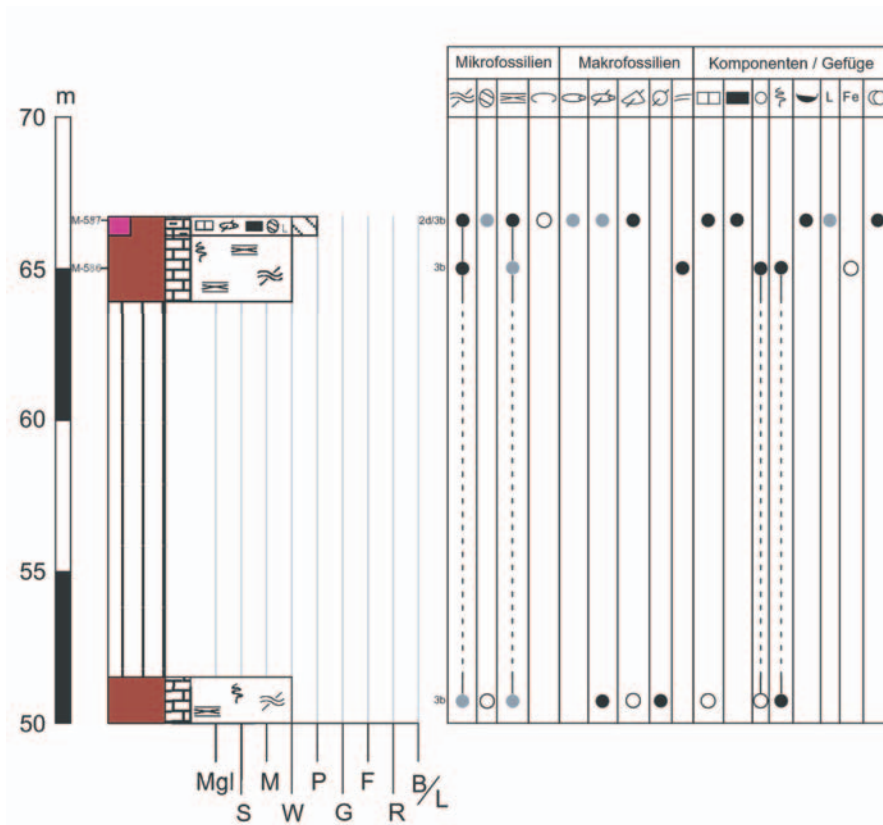


Abb. 34b: Profil Montelo I, Profilmeter 50 – 66,5; vgl. Kap. 3.2.5; zur Lage s. Abb. 7.

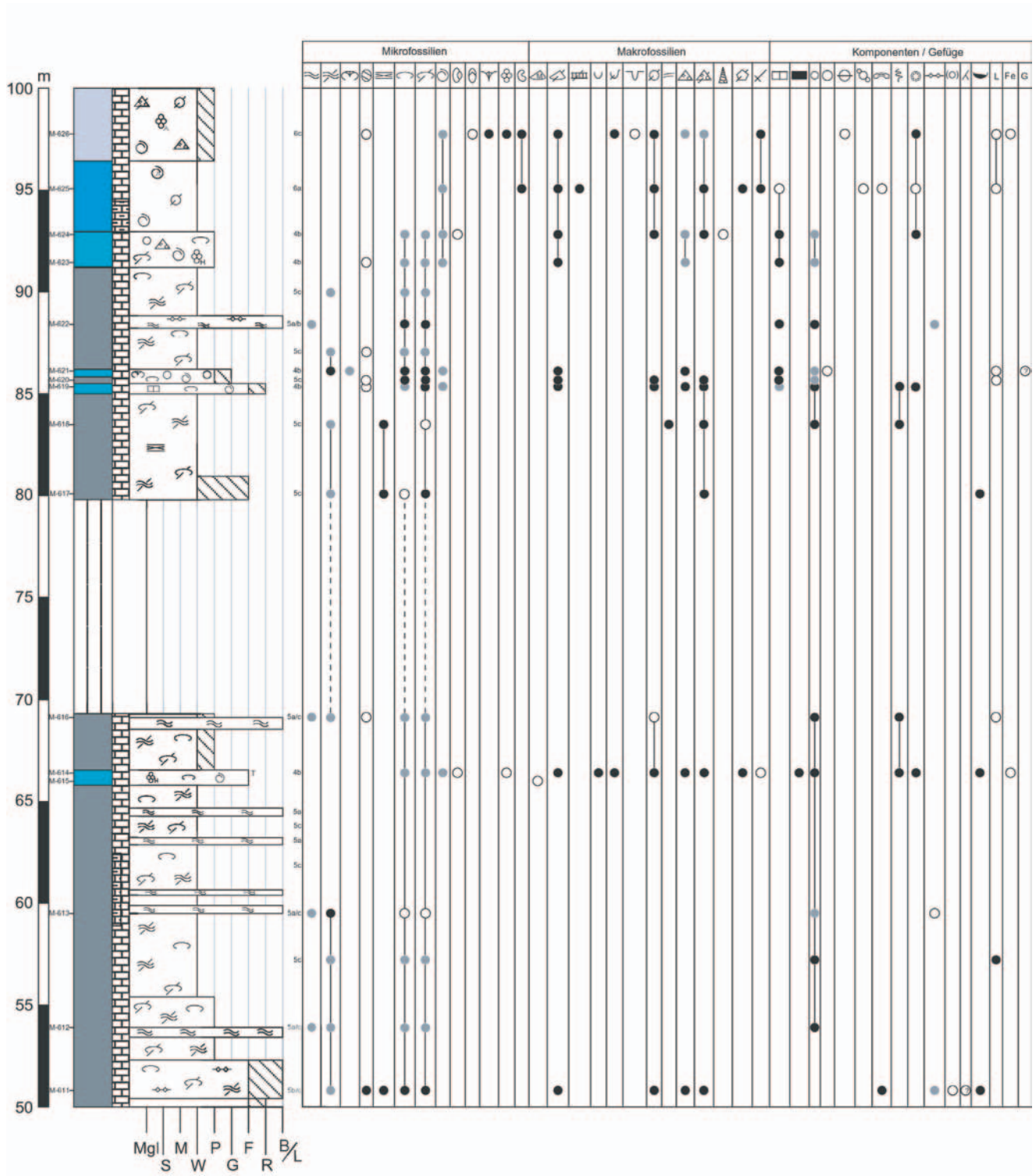


Abb. 35b: Profil Montelo II, Profilmeter 50 – 100; vgl. Kap. 3.2.5; zur Lage s. Abb. 7.

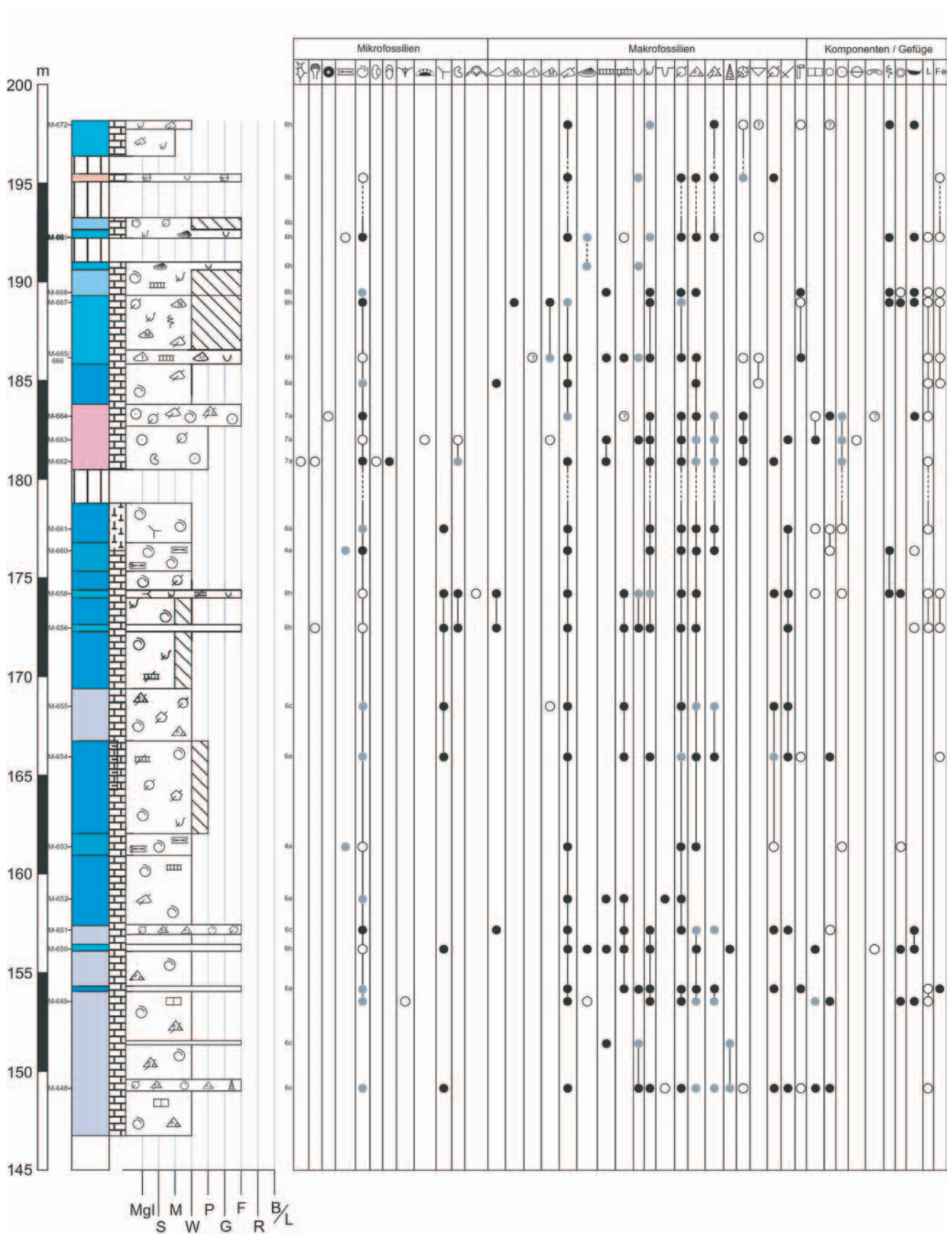


Abb. 36: Profil Montelo III, Profilmeter 146,5 – 198,5, Profilüberlappung mit Montelo II; vgl. Kap. 3.2.5; zur Lage s. Abb. 7.

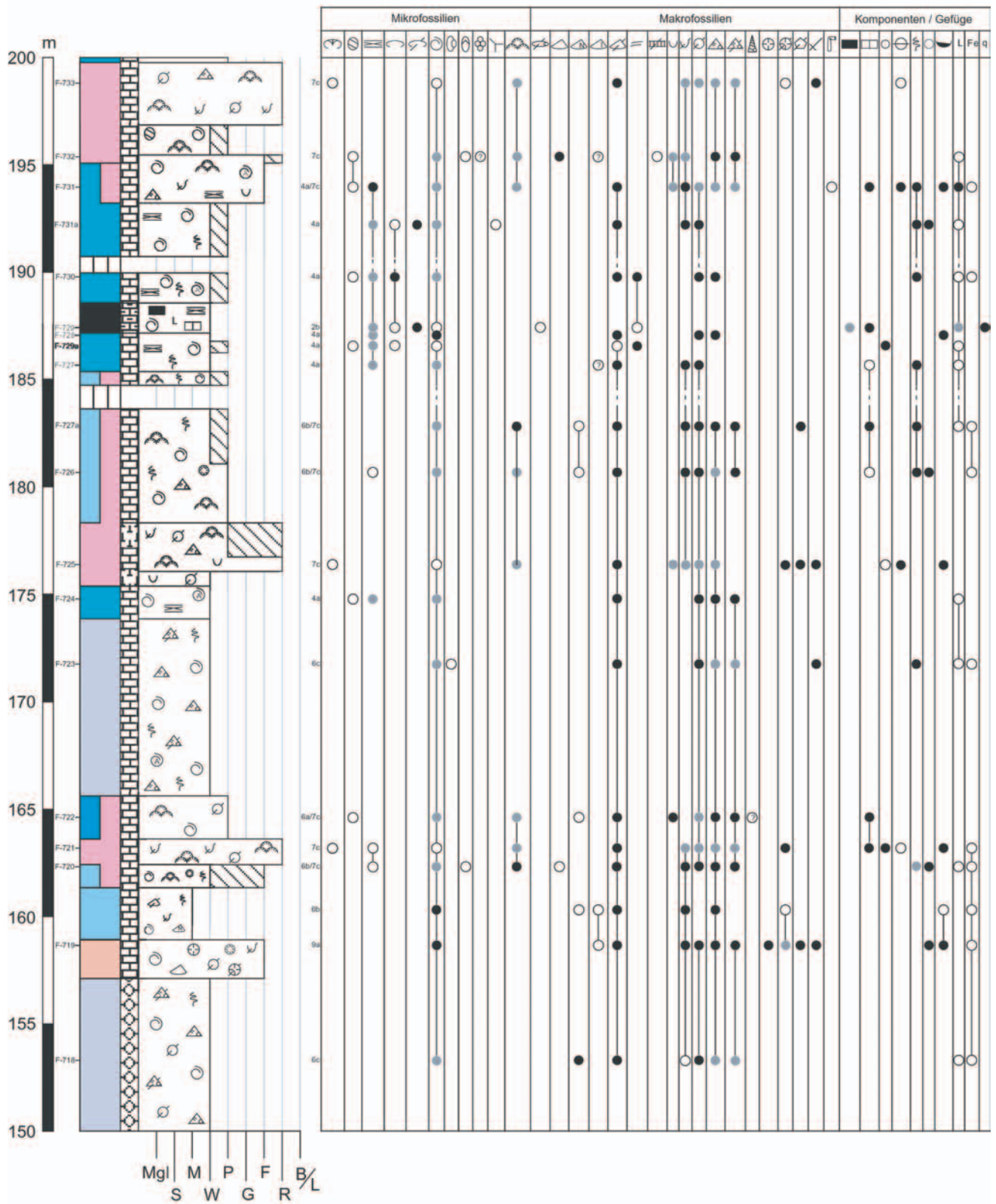


Abb. 37d: Profil Fátima, Profilmeter 150 – 200; vgl. Kap. 3.2.6; zur Lage s. Abb. 7.

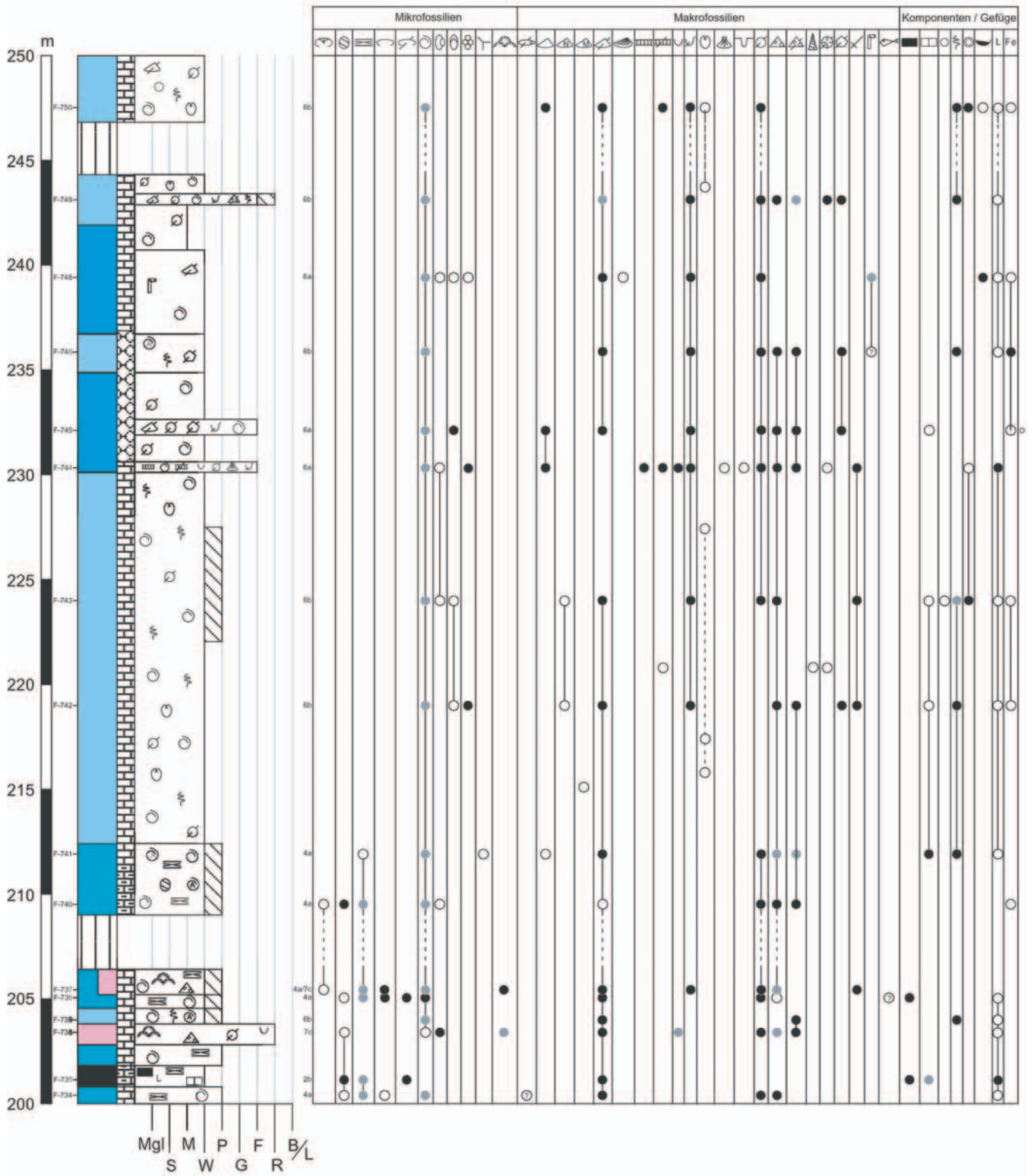


Abb. 37e: Profil Fátima, Profilmeter 200 – 250; vgl. Kap. 3.2.6; zur Lage s. Abb. 7

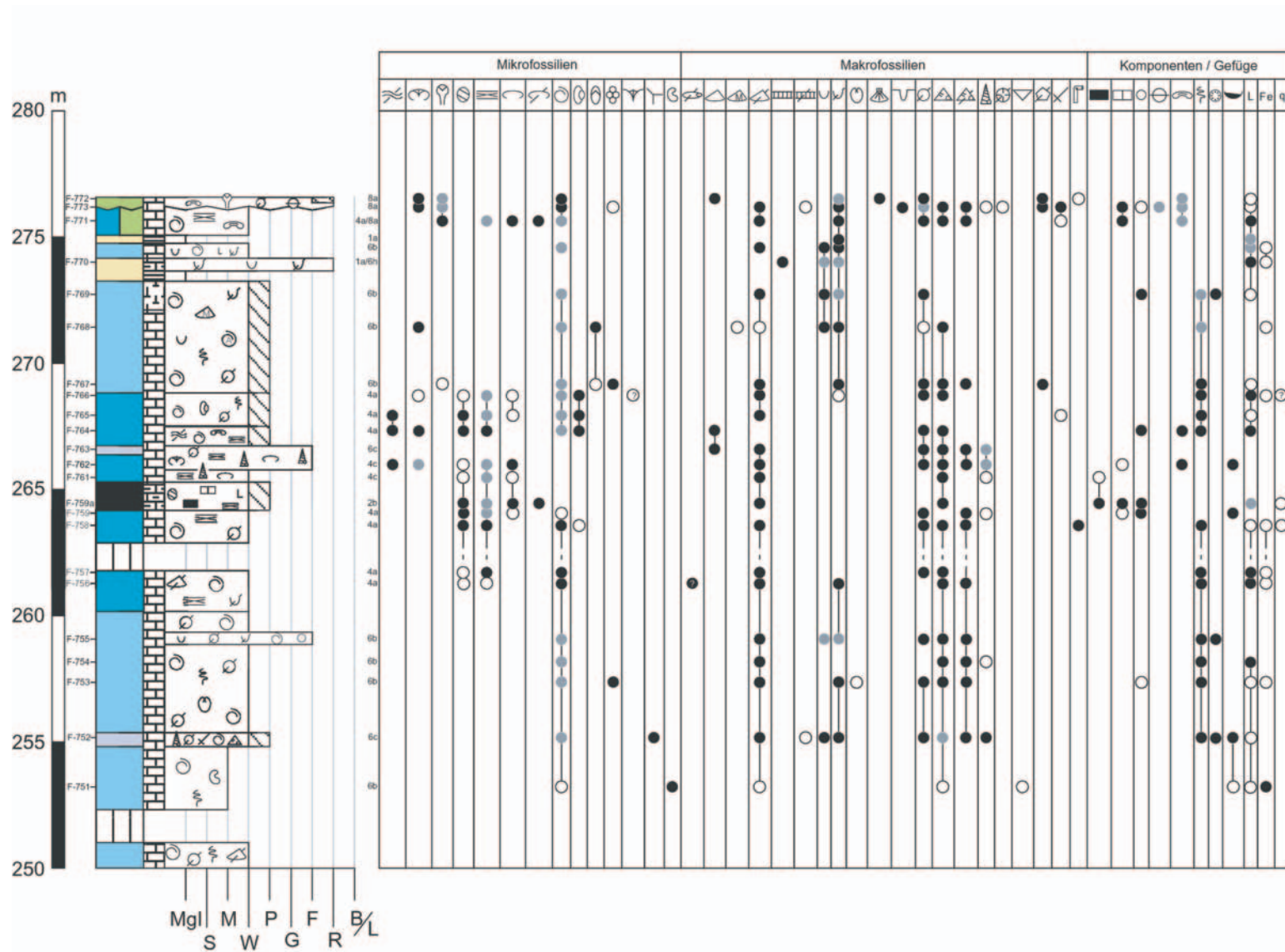


Abb. 37f: Profil Fátima, Profilmeter 250 – 278; vgl. Kap. 3.2.6; zur Lage s. Abb. 7.

Serra do Bouro

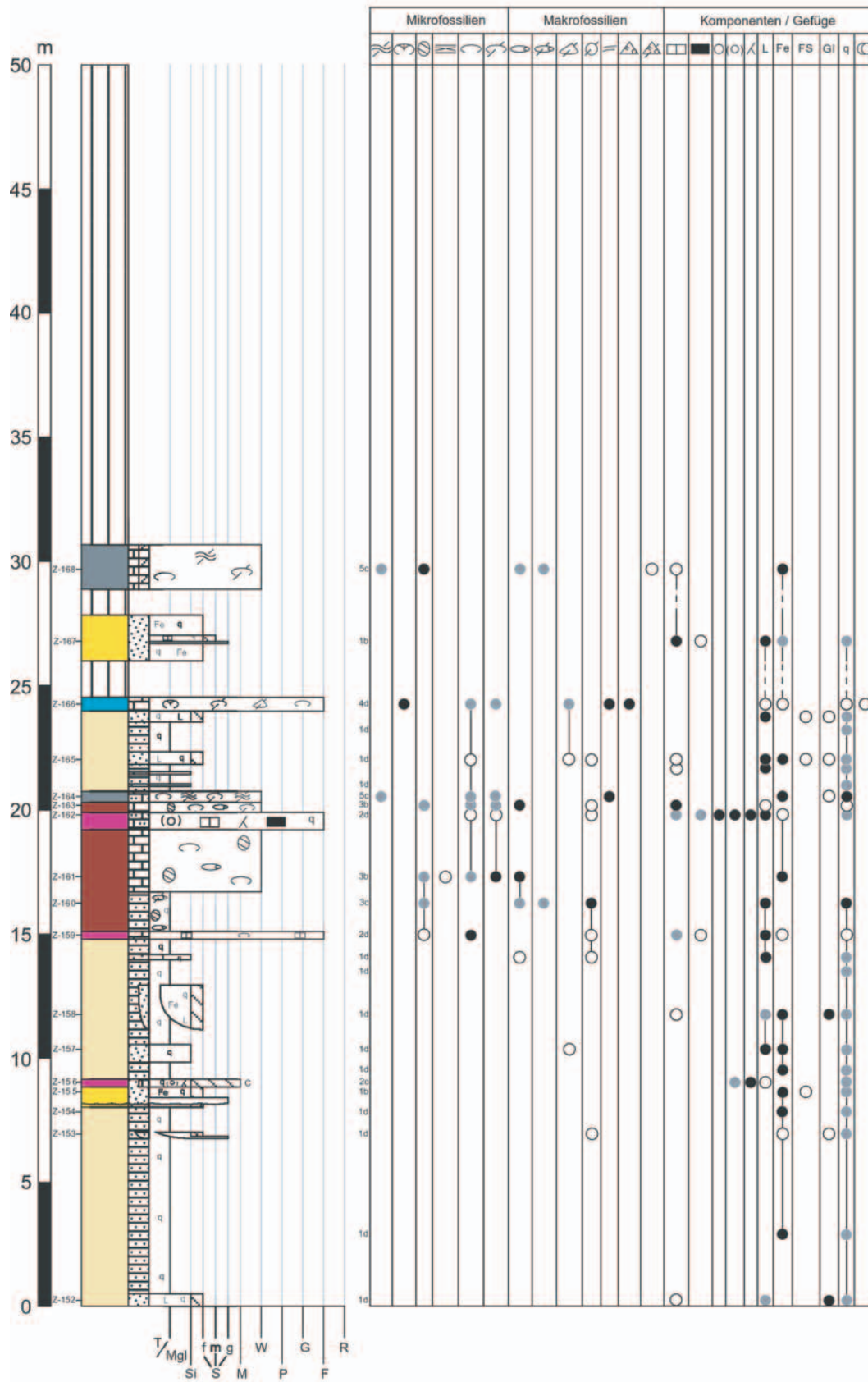


Abb. 38a: Profil Zambujeiro, Profilmeter 0 – 50; vgl. Kap. 4.2; zur Lage s. Abb. 8.

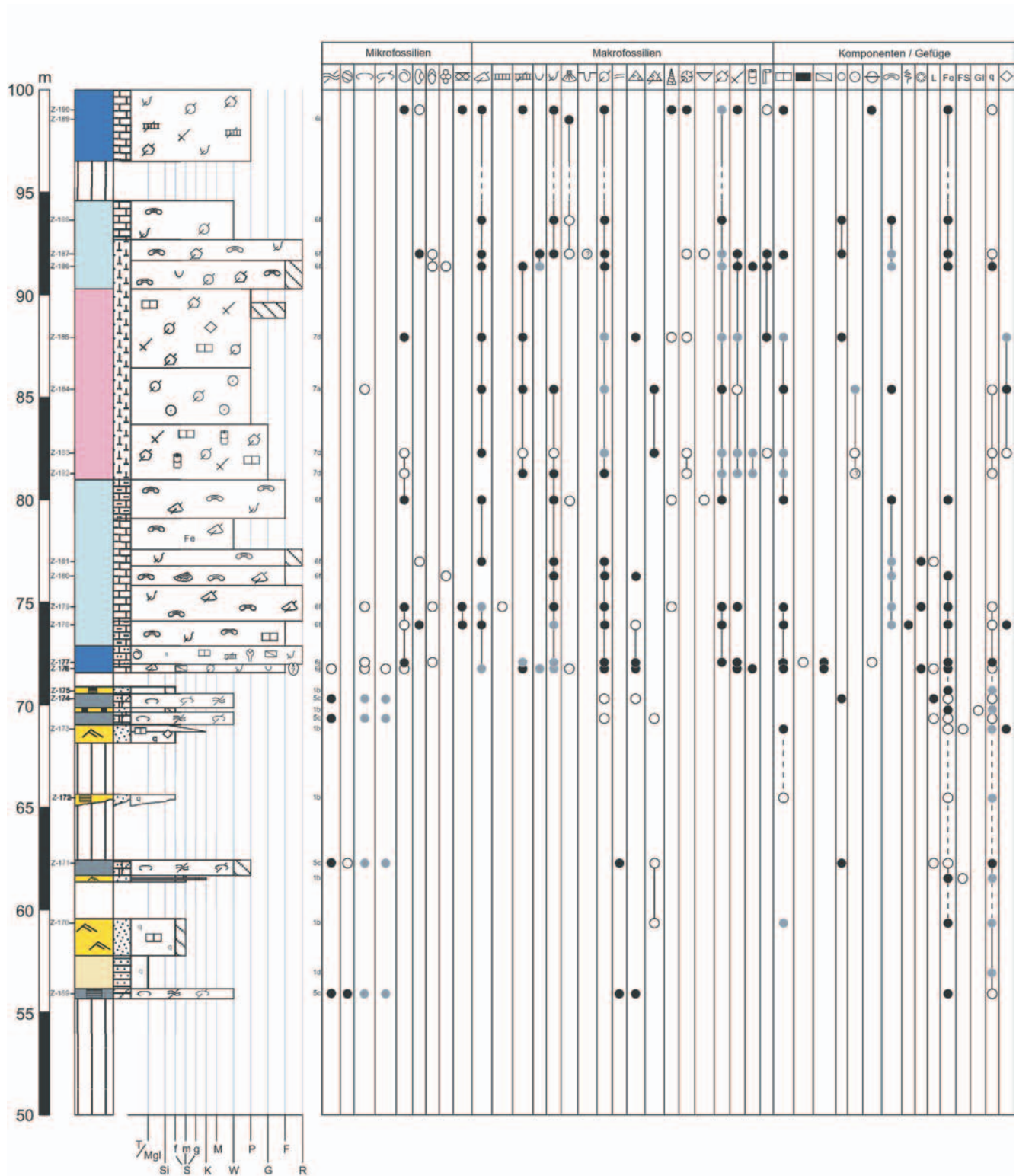


Abb. 38b: Profil Zambujeiro, Profilmeter 50 – 100; vgl. Kap. 4.2; zur Lage s. Abb. 8.

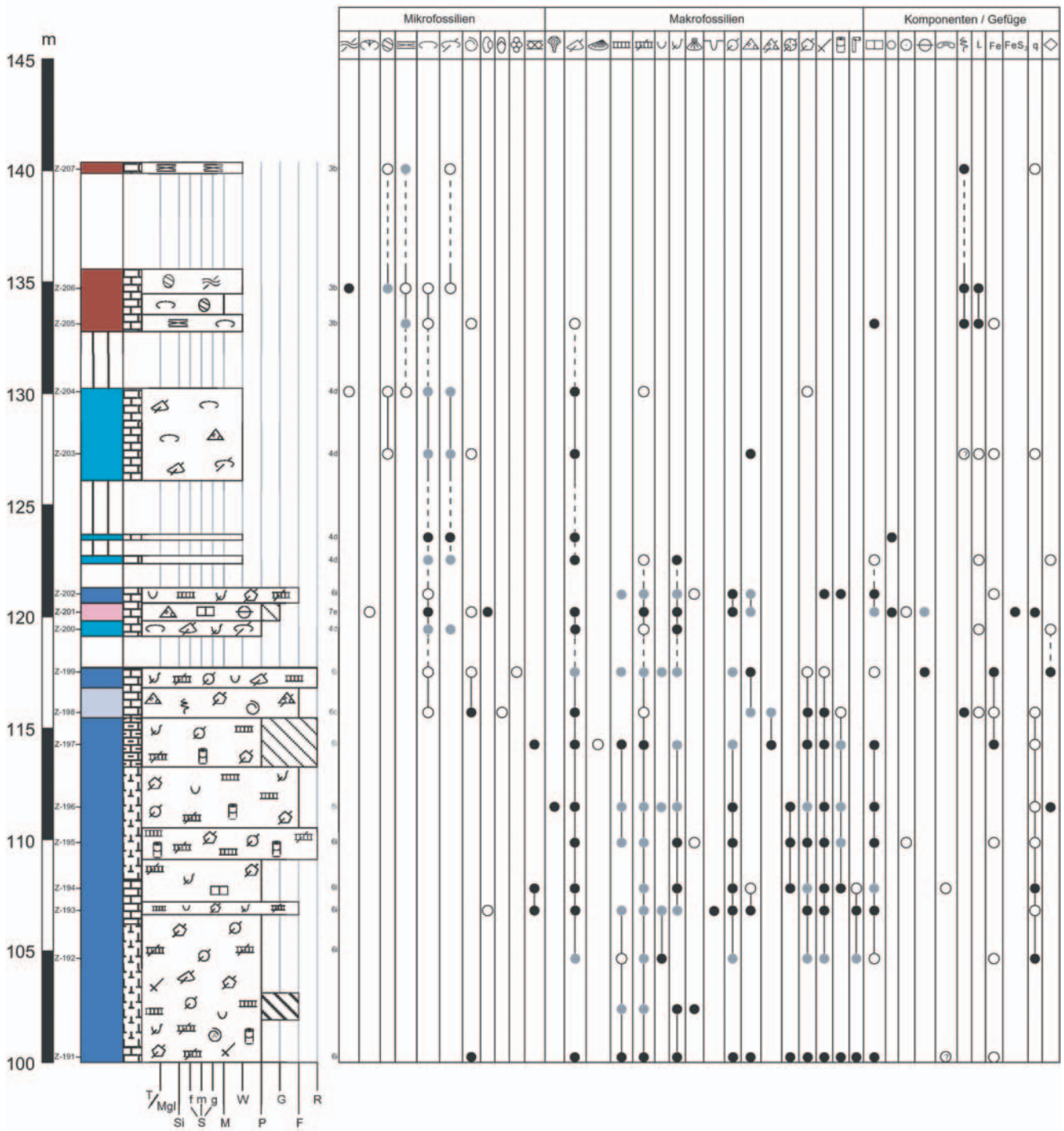


Abb. 38c: Profil Zambujeiro, Profilmeter 100 – 140,5; vgl. Kap. 4.2; zur Lage s. Abb. 8.

Serra de Cesaredas

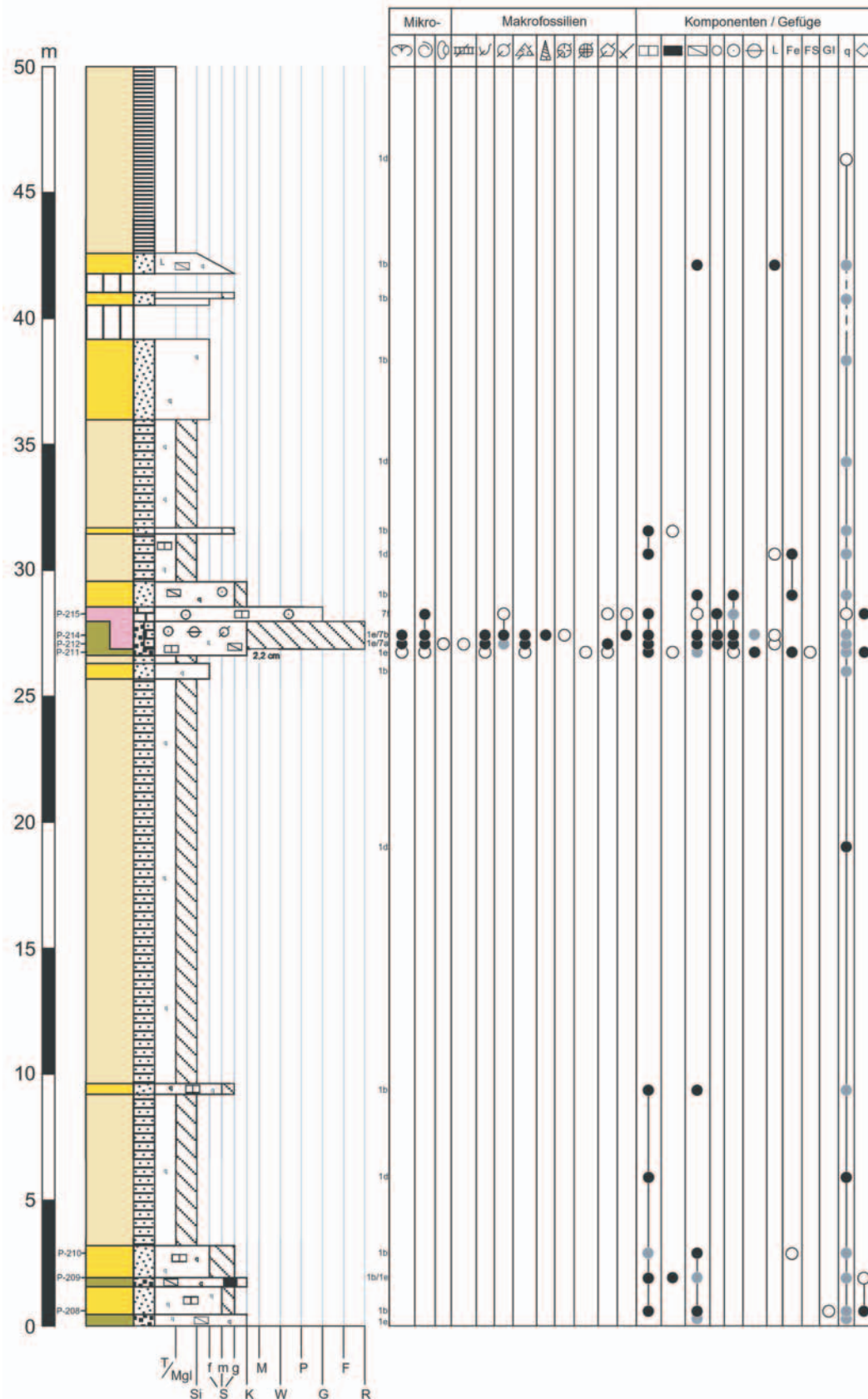


Abb. 39a: Hauptprofil Pena Seca, Profilmeter 0 – 50; vgl. Kap. 5.2.1; zur Lage s. Abb. 9.

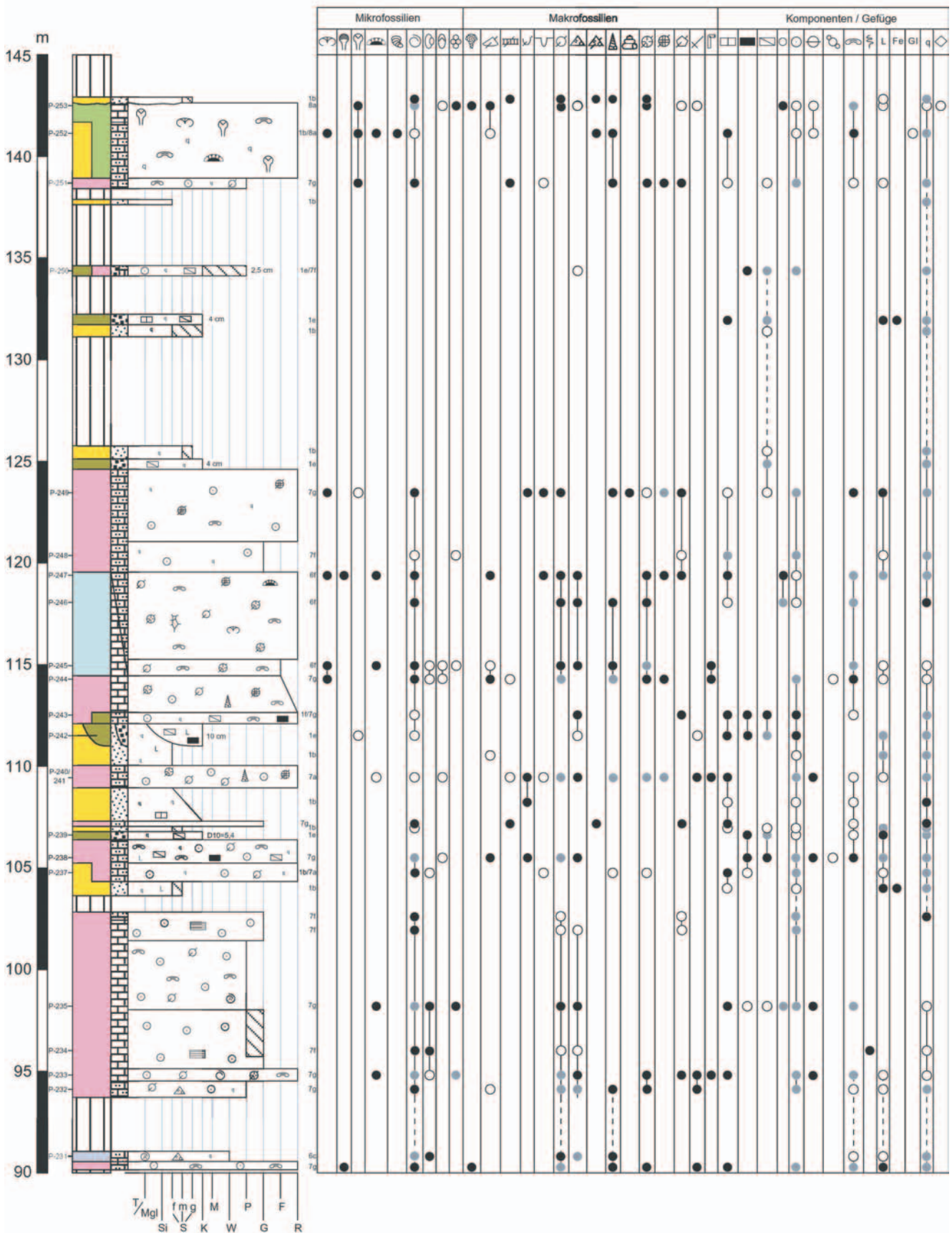


Abb. 39c: Hauptprofil Pena Seca, Profilmeter 90 – 145; vgl. Kap. 5.2.1; zur Lage s. Abb. 9.

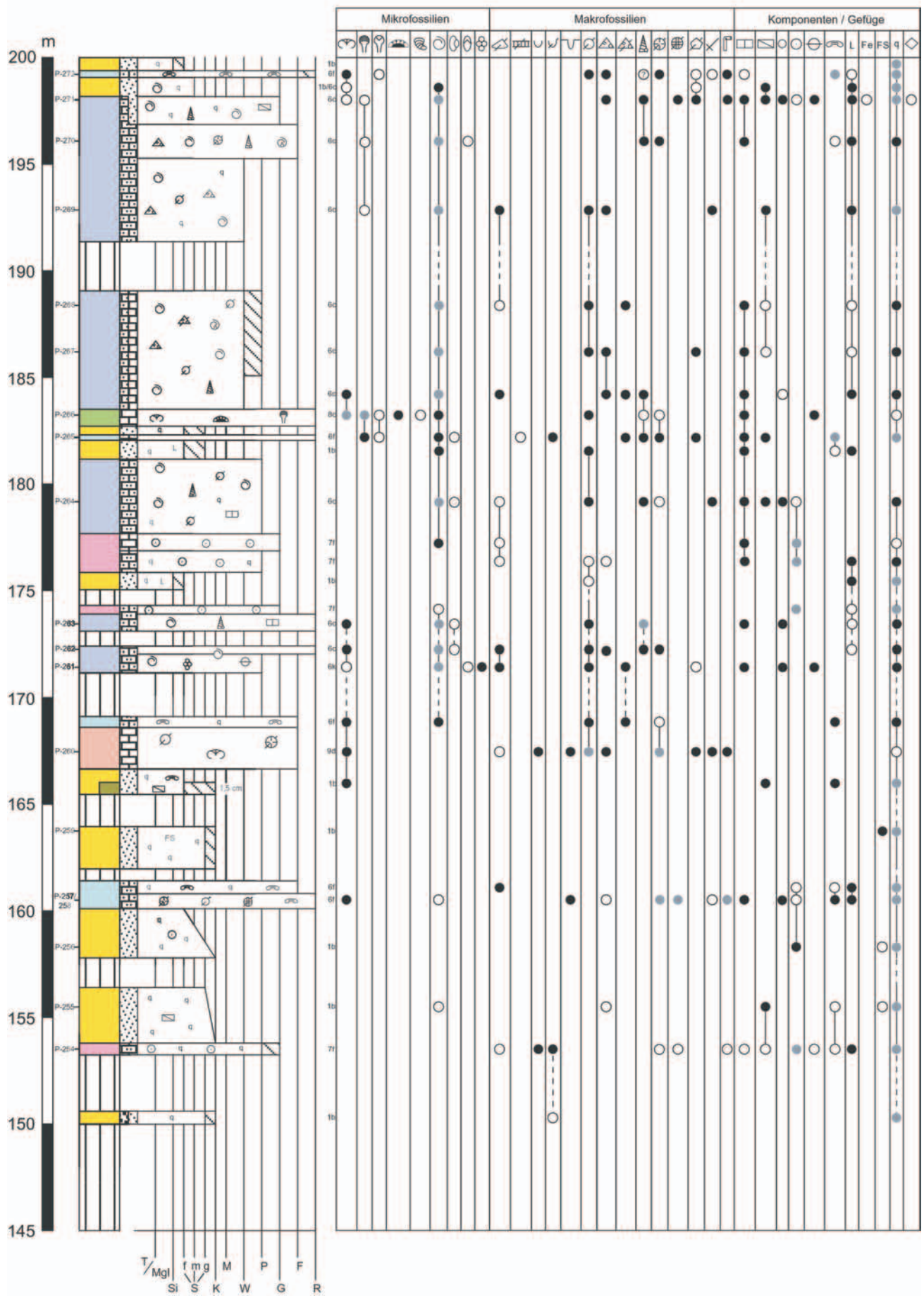


Abb. 39d: Hauptprofil Pena Seca, Profilmeter 145 – 200; vgl. Kap. 5.2.1; zur Lage s. Abb. 9.

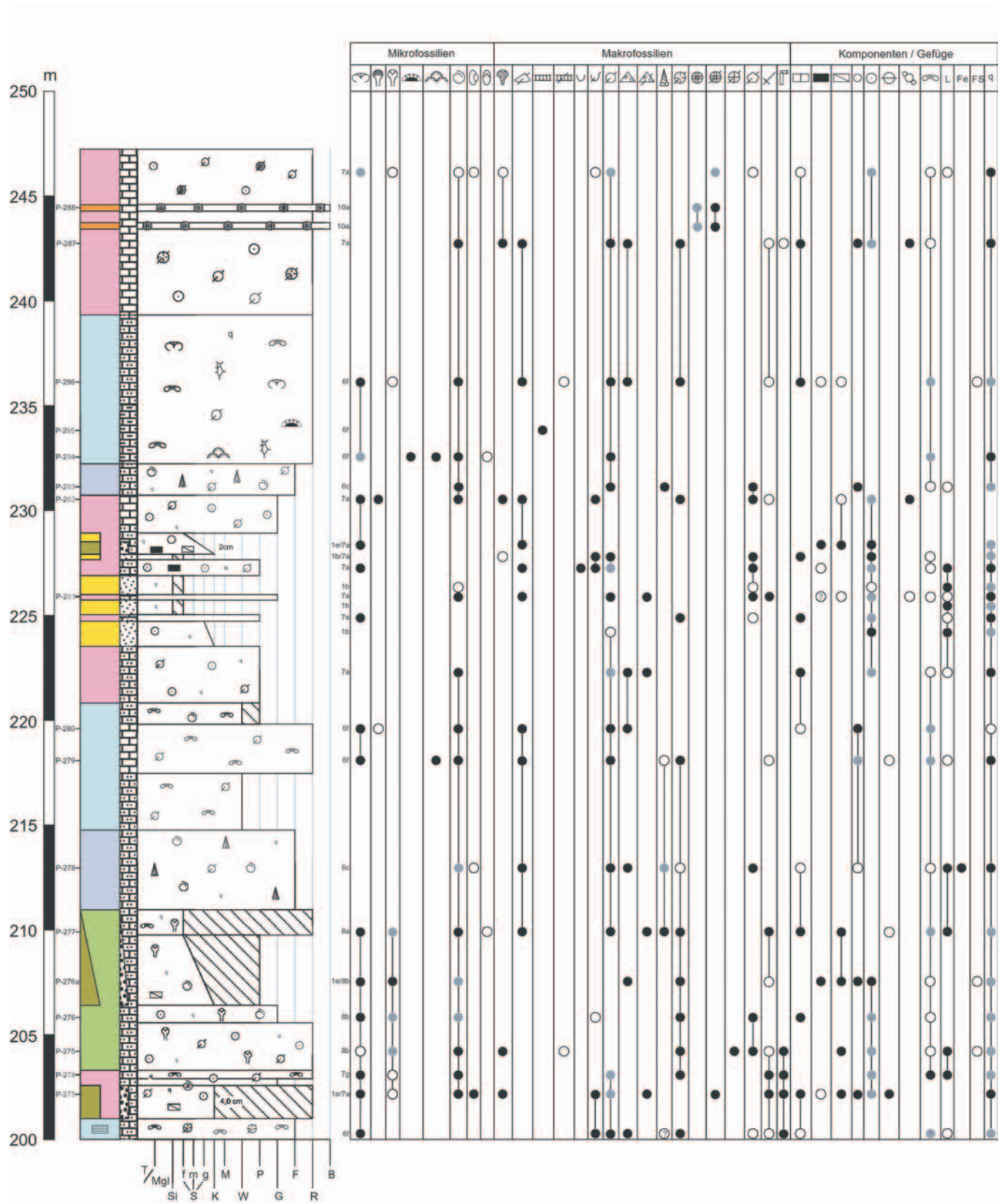


Abb. 39e: Hauptprofil Pena Seca, Profilmeter 200 – 247; vgl. Kap. 5.2.1; zur Lage s. Abb. 9.

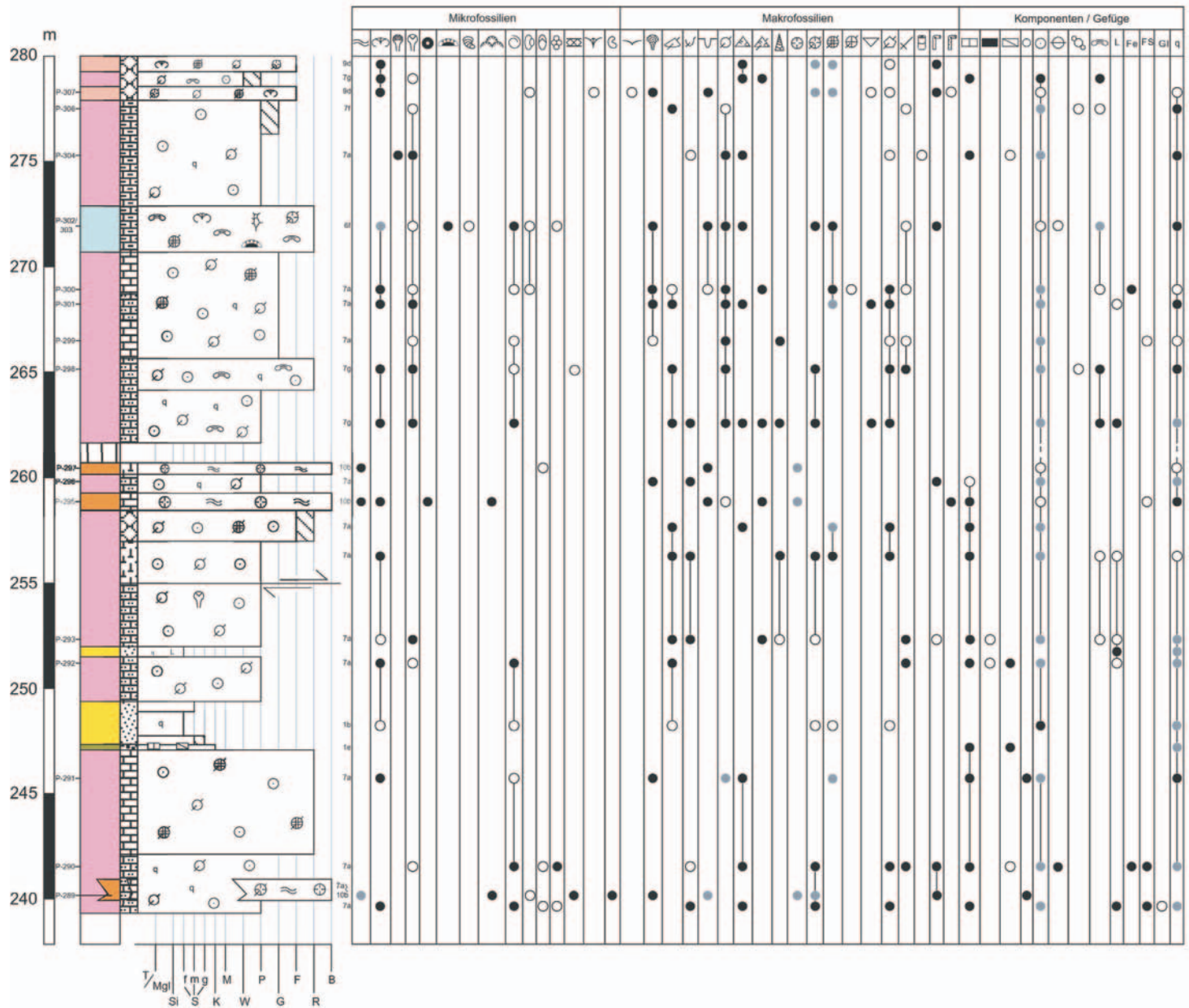


Abb. 39f: Hauptprofil Pena Seca, Profilmeter 239 – 280, mit geringer Überlappung zum vorherigen Profilabschnitt; vgl. Kap. 5.2.1; zur Lage s. Abb. 9.

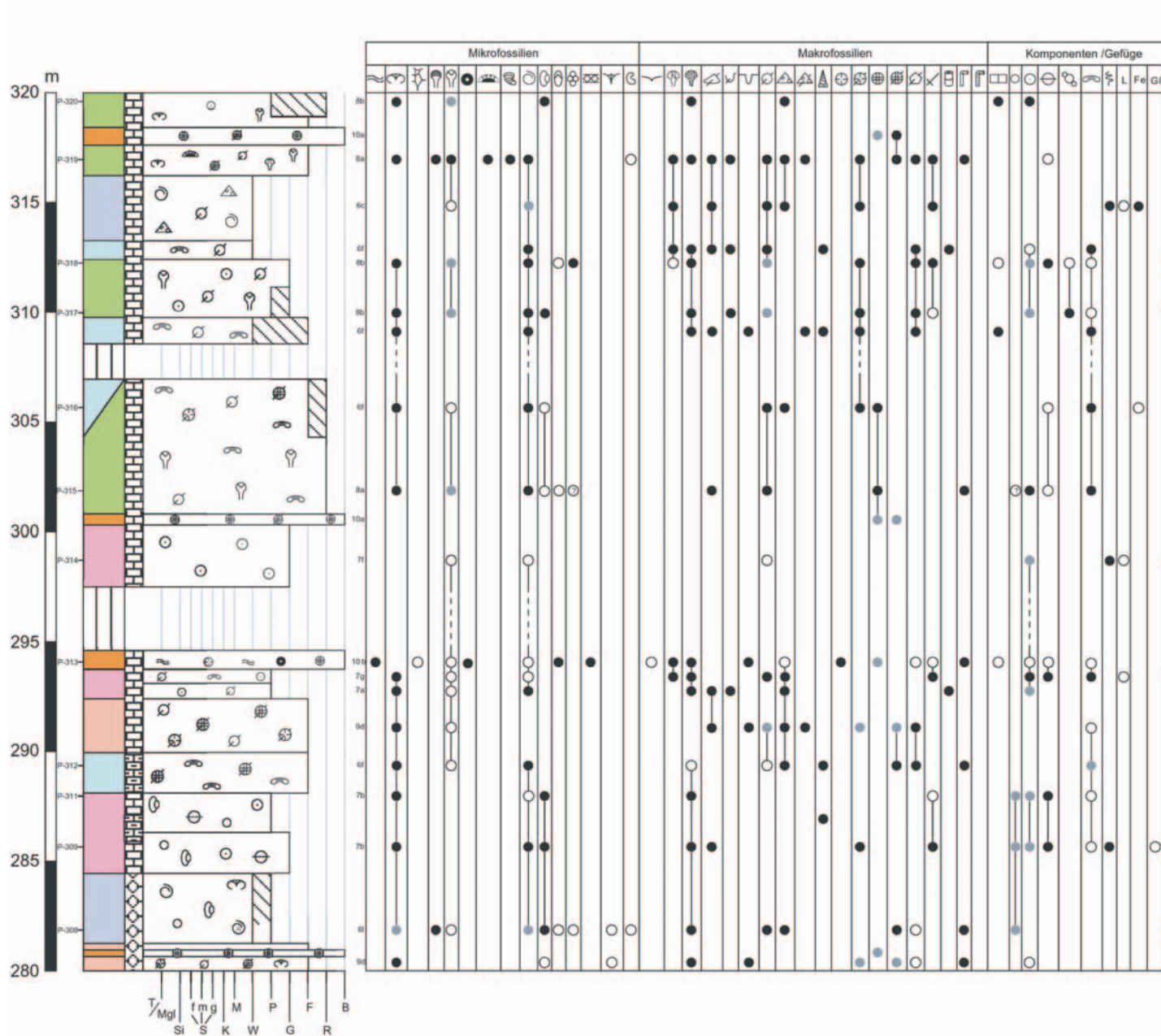


Abb. 39g: Hauptprofil Pena Seca, Profilmeter 280 – 320; vgl. Kap. 5.2.1; zur Lage s. Abb. 9

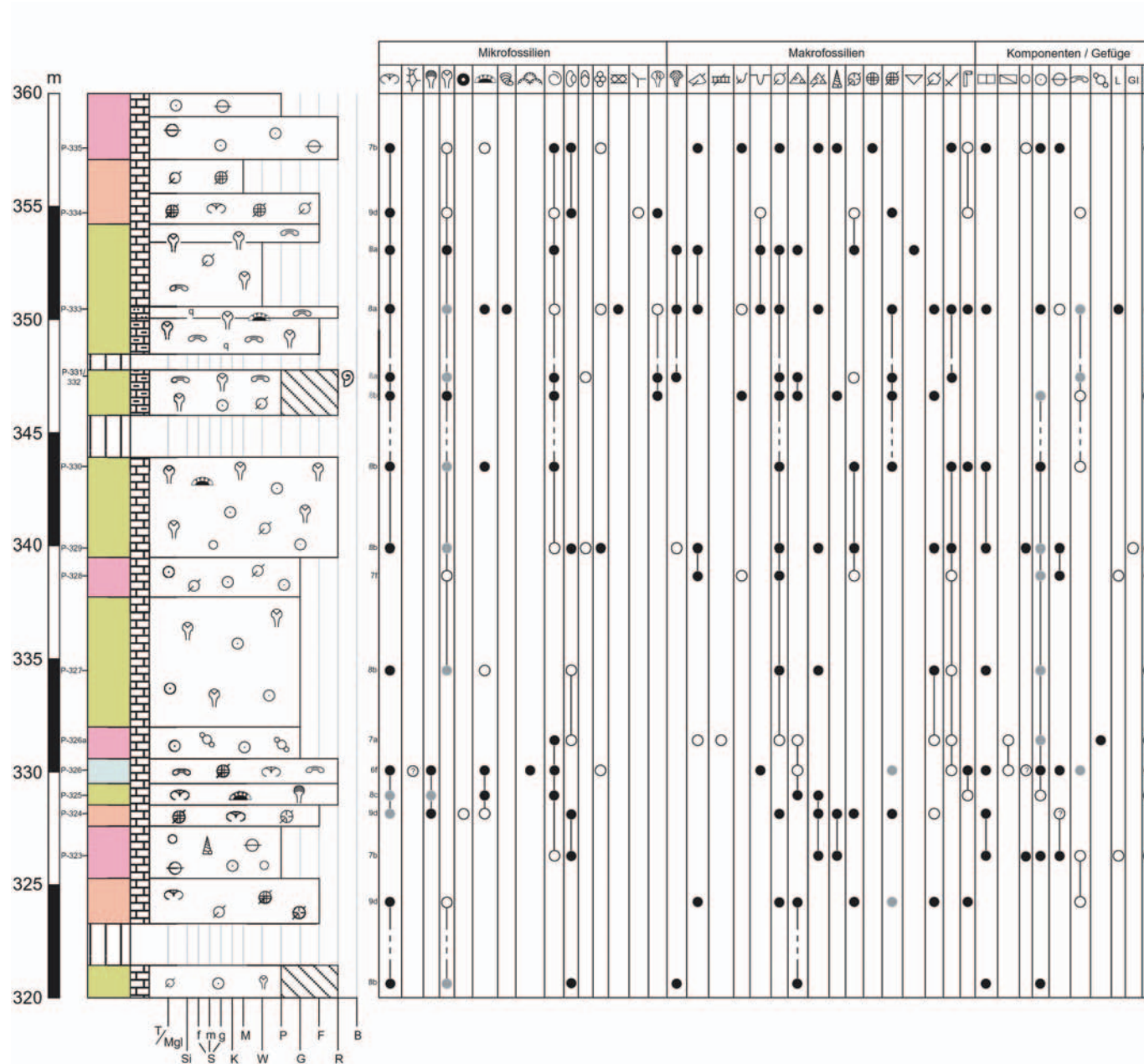


Abb. 39h: Hauptprofil Pena Seca, Profilmeter 320 – 360; vgl. Kap. 5.2.1; zur Lage s. Abb. 9.

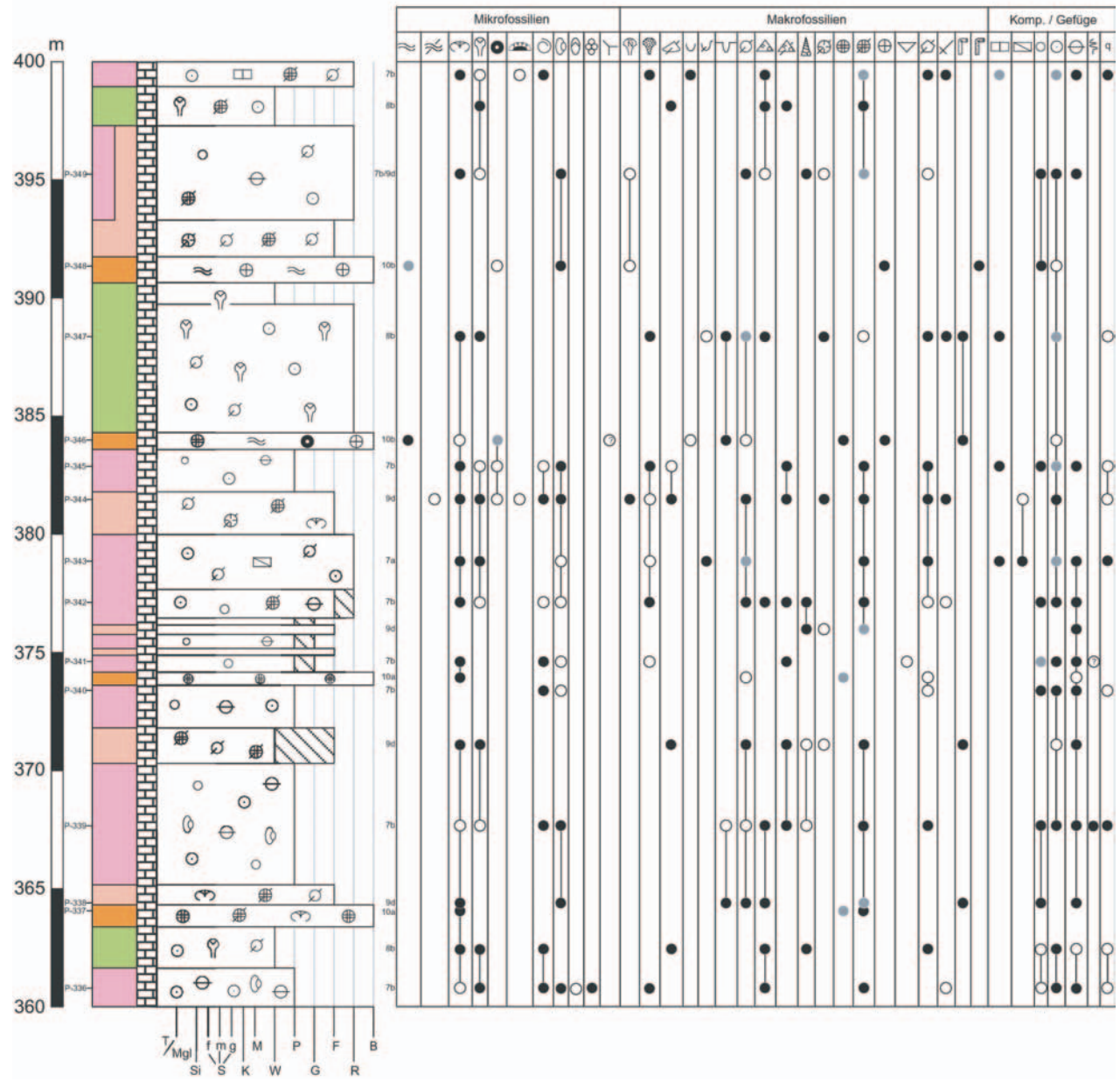


Abb. 39i: Hauptprofil Pena Seca, Profilmeter 360 – 400; vgl. Kap. 5.2.1; zur Lage s. Abb. 9.

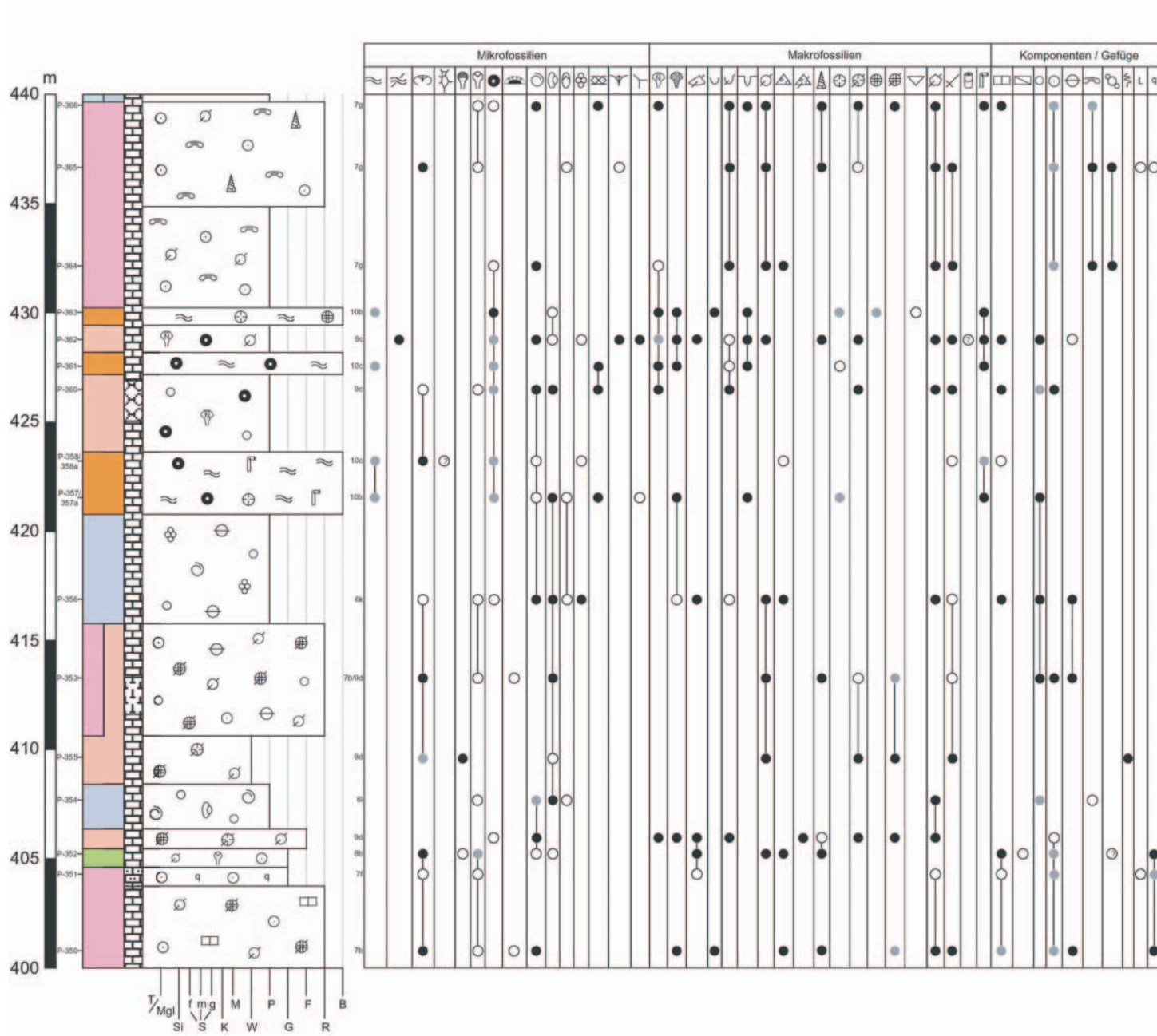


Abb. 39j: Hauptprofil Pena Seca, Profilmeter 400 – 440; vgl. Kap. 5.2.1; zur Lage s. Abb. 9.

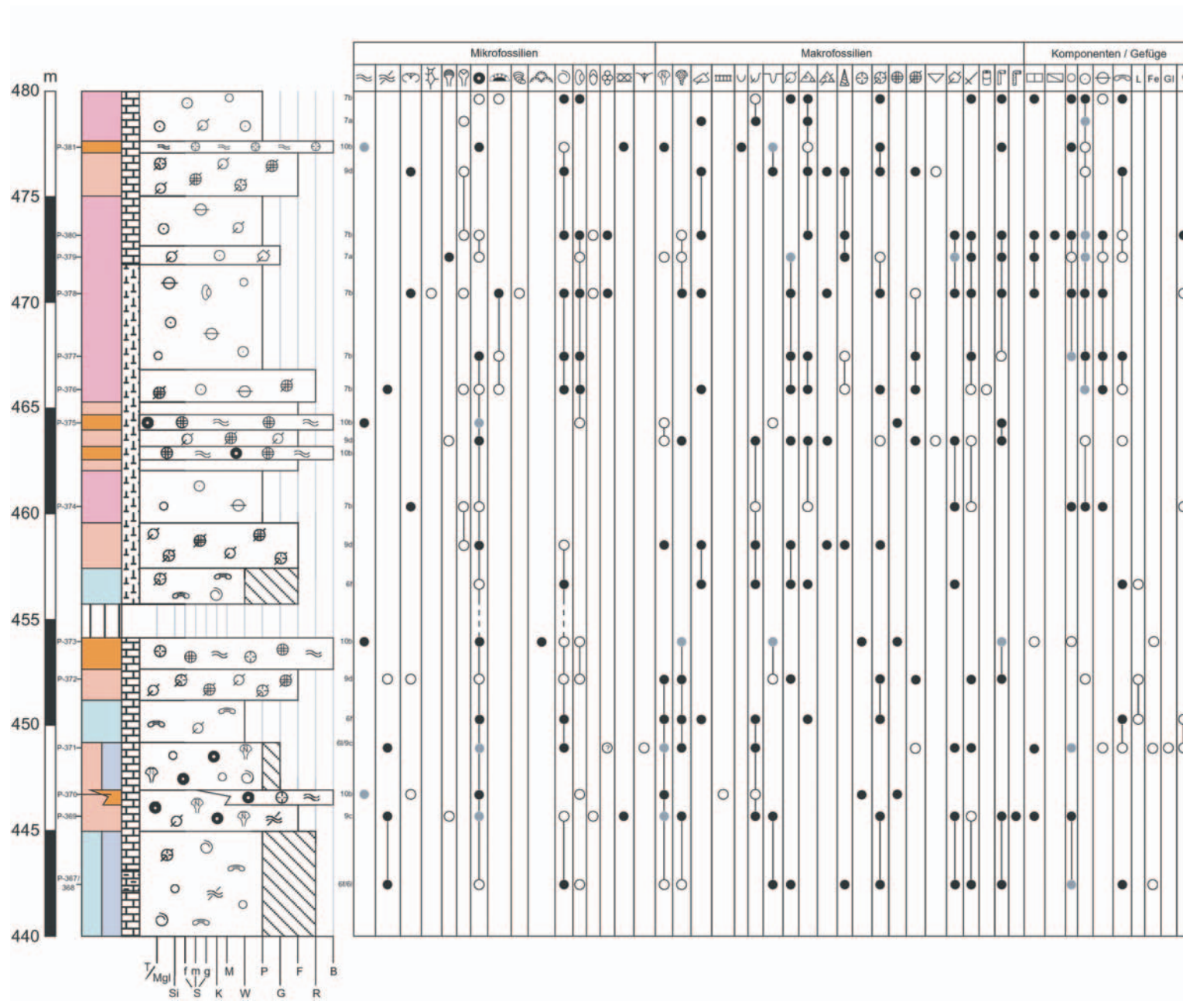


Abb. 39k: Hauptprofil Pena Seca, Profilmeter 440 - 480; vgl. Kap. 5.2.1; zur Lage s. Abb. 9.

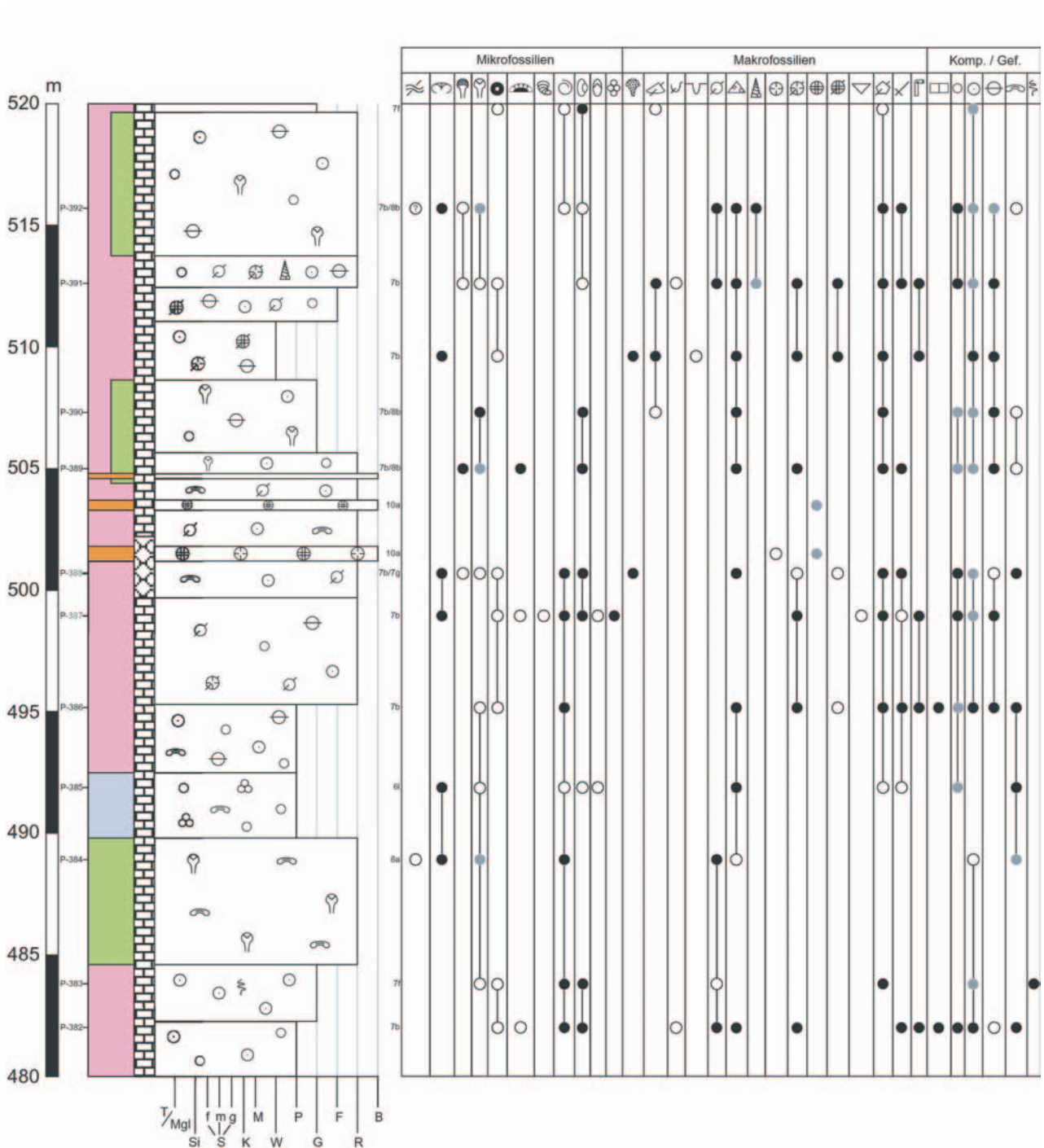


Abb. 391: Hauptprofil Pena Seca, Profilmeter 480 – 520; vgl. Kap. 5.2.1; zur Lage s. Abb. 9.

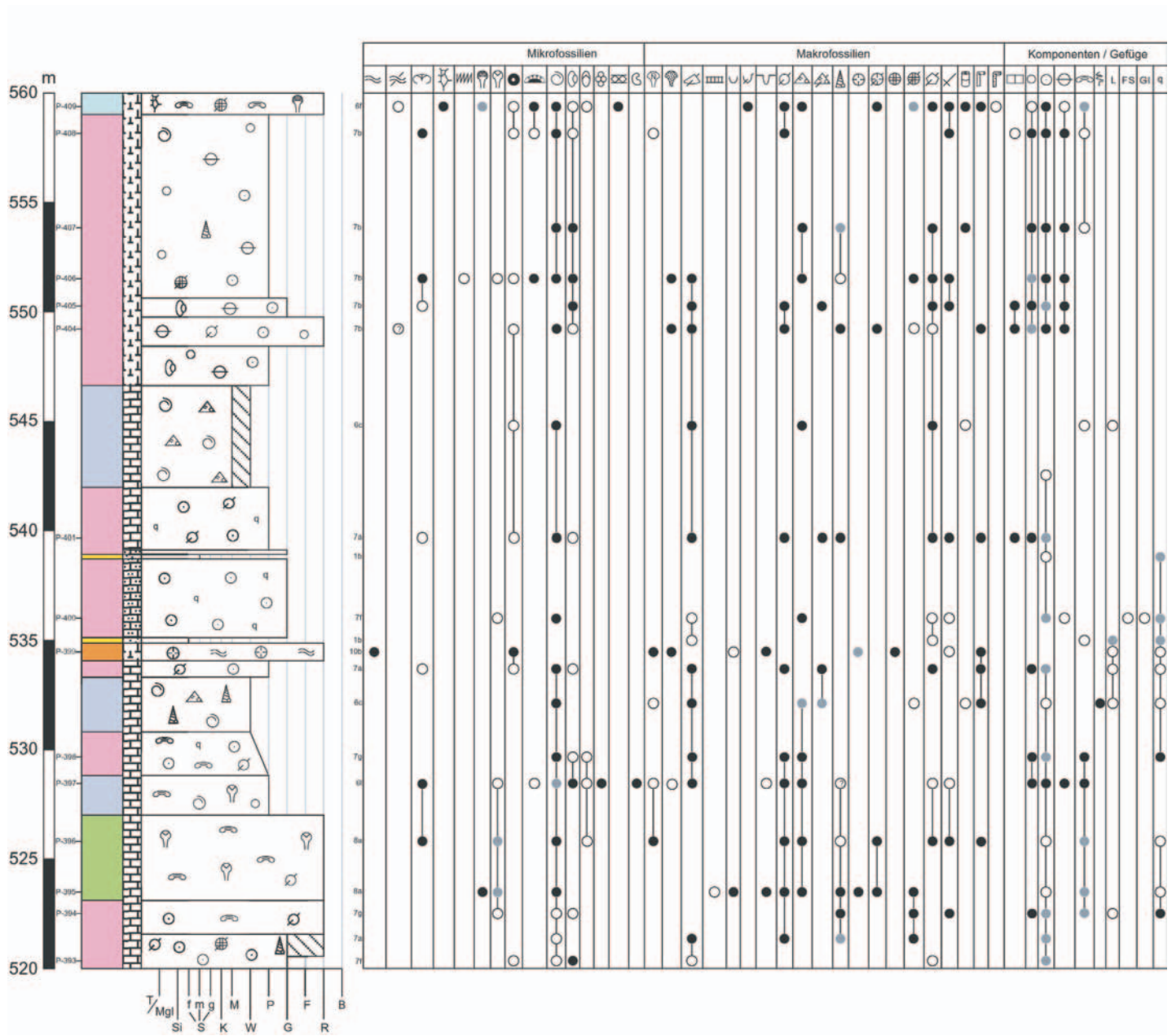


Abb. 39m: Hauptprofil Pena Seca, Profilmeter 520 - 560; vgl. Kap. 5.2.1; zur Lage s. Abb. 9.

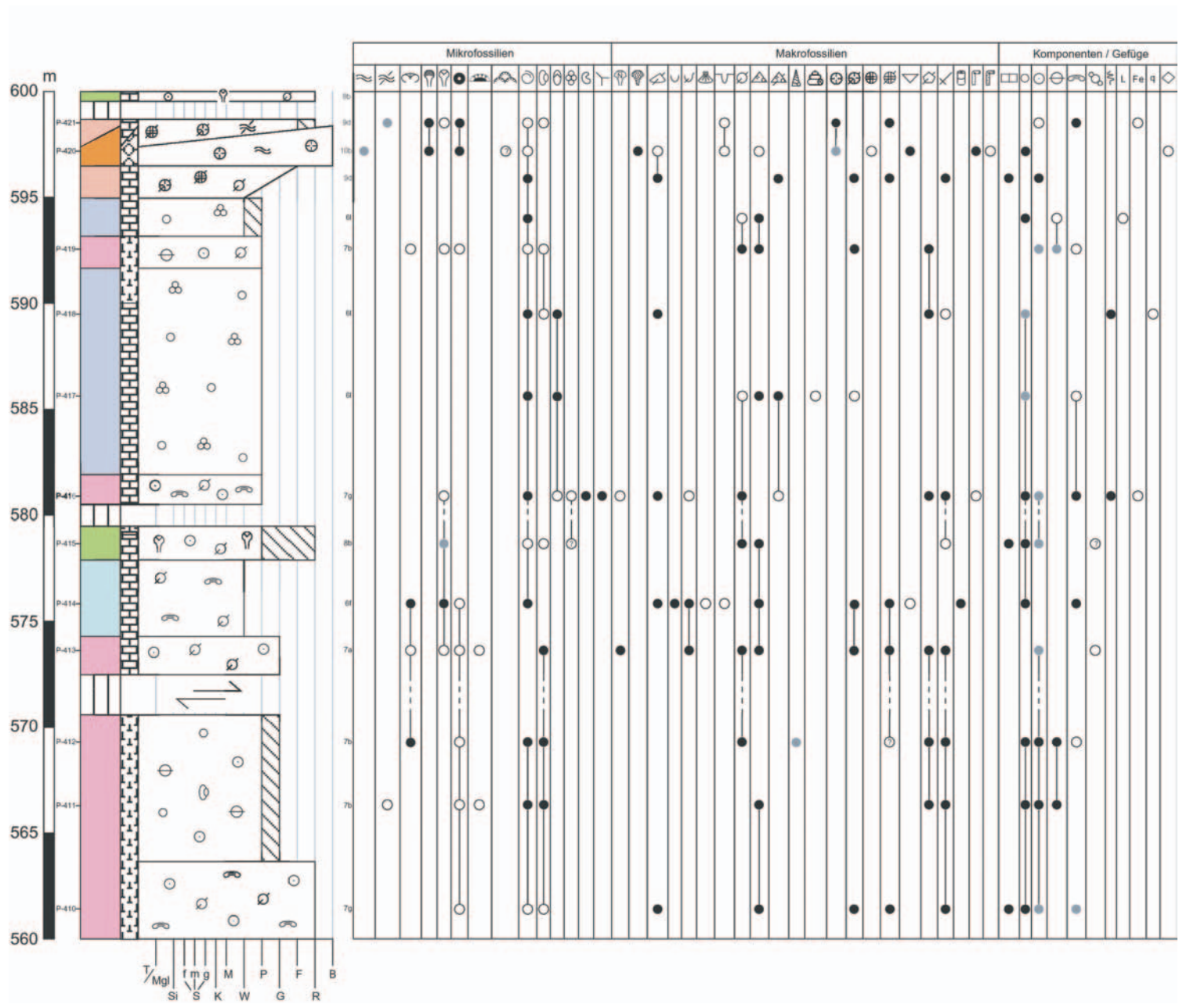


Abb. 39n: Hauptprofil Pena Seca, Profilmeter 560 - 600; vgl. Kap. 5.2.1; zur Lage s. Abb. 9.

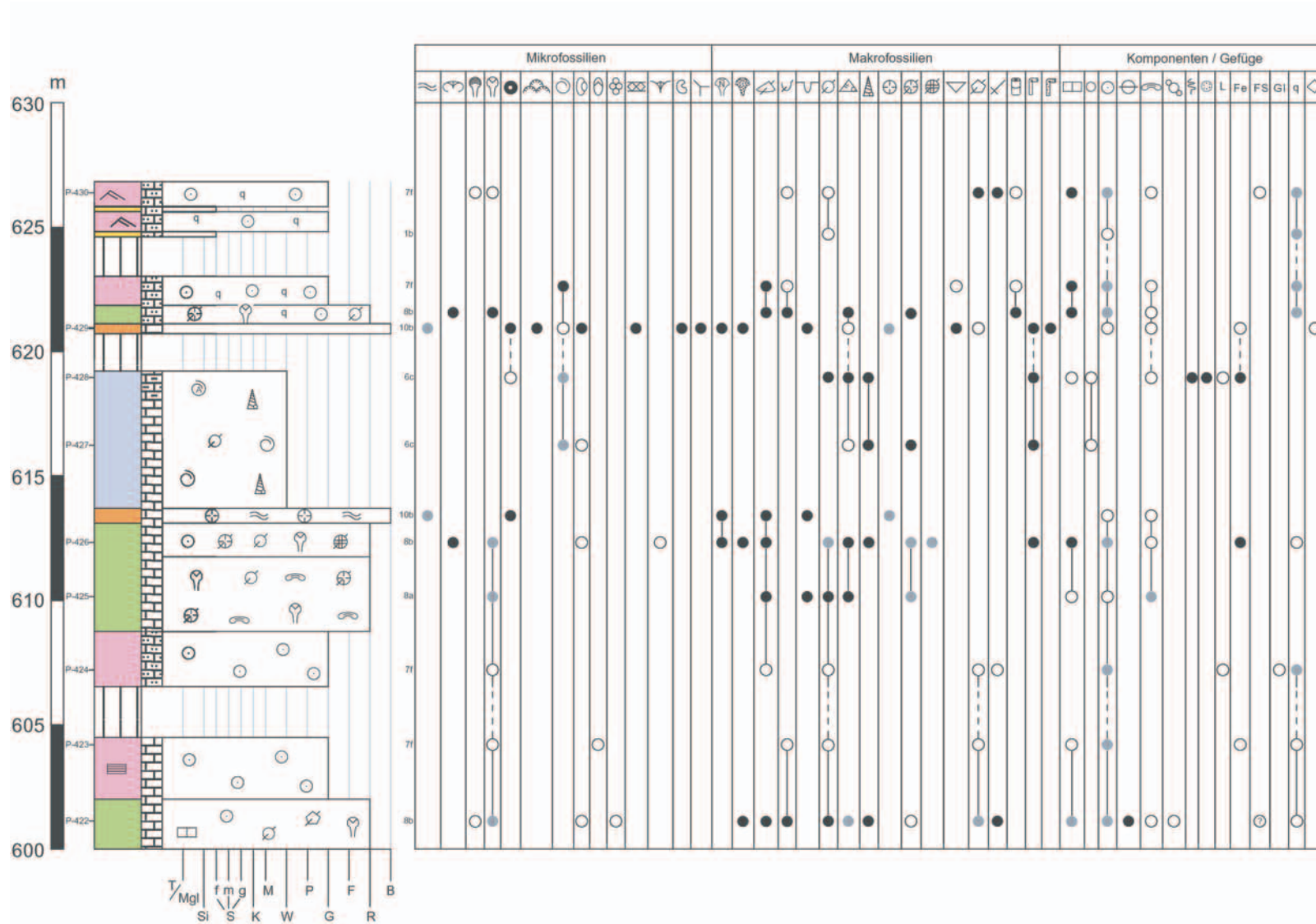


Abb. 39o: Hauptprofil Pena Seca, Profilmeter 600 - 627; vgl. Kap. 5.2.1; zur Lage s. Abb. 9.

Probennummer	Sample vs. VPDB				Sample vs. VSMOW	Mikrofaziestyp	Salinität [‰]	Z-Werte
	$\delta^{13}\text{C}$	$\delta^{18}\text{O}$	std. dev. C	std. dev. O	$\delta^{18}\text{O}$			
M-614	2,74	-0,38	0,02	0,01	30,52	4b	29,97	132,72
M-629	2,30	-3,39	0,02	0,03	27,42	6c/h	28,0	130,32
M-633	3,88	-0,57	0,01	0,04	30,32	6a	35,0	134,96
M-636	3,49	0,08	0,02	0,05	30,99	9b	33,29	134,49
M-656	2,52	-0,85	0,02	0,04	30,04	6h	28,98	132,04
M-663	3,34	-1,33	0,02	0,04	29,55	7a	32,62	133,48
F-675.1	2,67	-5,62	0,02	0,03	25,12	6h	29,66	129,97
F-675.2	2,95	-1,29	0,02	0,03	29,59	6h	30,9	132,7
F-697	2,80	-1,25	0,03	0,02	29,62	6b	30,23	132,41
F-721	2,50	0,15	0,02	0,04	31,06	7c	28,9	132,5
F-737	1,78	-0,64	0,03	0,02	30,25	4a/7c	25,69	130,63
F-744	2,37	-1,71	0,02	0,02	29,15	6a	28,34	131,3
F-755	1,58	-0,82	0,01	0,04	30,06	6b	24,81	130,25
F-755	1,58	-0,85	0,03	0,04	30,04	6b	24,81	130,25
F-769	0,28	-2,15	0,03	0,03	28,70	6b	19,04	126,8
F-772	1,47	-0,53	0,02	0,05	30,36	8a	24,31	130,05

Abb.41: Tabellarische Darstellung der Isotopenwerte ($^{13/12}\text{C}$, $^{18/16}\text{O}$), des Mikrofaziestyps aus dem die Austernklappen stammen, der ermittelten Salinität und der errechneten Z-Werte. Die durchschnittliche Standardabweichung (std. dev.) ergibt sich aus 10 Einzelmessungen innerhalb einer Probe.